

U.S.T.H.B

Le

**ECOLE NATIONALE POLYTECHNIQUE D'ALGER
DEPARTEMENT DE GENIE - MECANIQUE**



PROJET DE FIN D'ETUDES

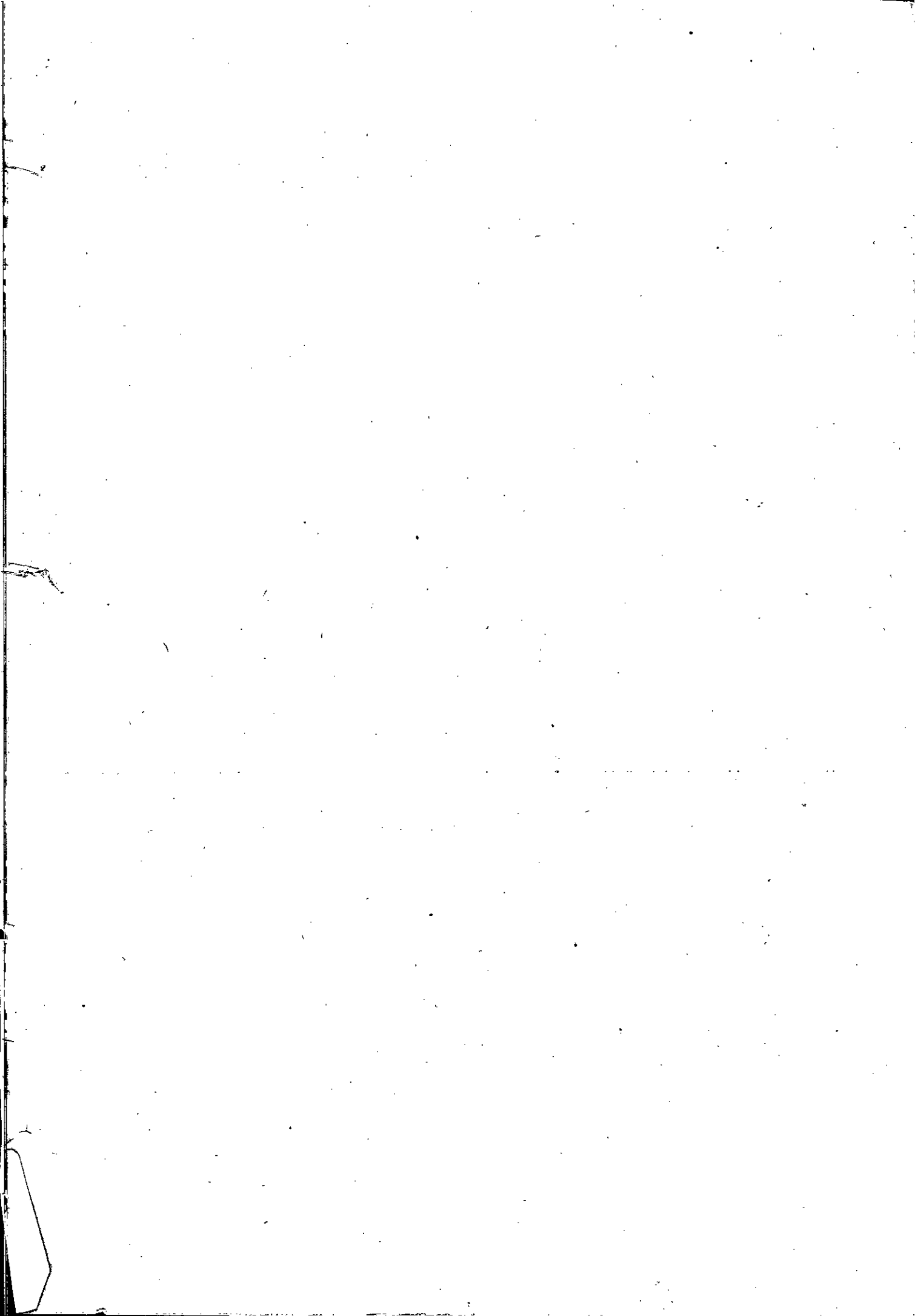
**ETUDE DUN CHARIOT DE PONT ROULANT
A BENNE PRENEUSE D'UNE
CAPACITÉ DE 8 TONNES**

PROPOSÉ DIRIGÉ PAR :

M. GREFKOWICZ

ETUDIÉ PAR :

M. BOUGUERRA



Remerciements

Qu'il me soit permis de présenter
à Monsieur GREFKOWICZ mes
remerciements les plus ^{الطيب} sincères
pour son suivi dans mon travail.
Qu'il trouve ici ma profonde
reconnaissance.

Mes vifs remerciements, aussi,
à tous ceux qui ont participé
de près ou de loin à ma longue
formation.

A MON PERE , A MA MERE , A MES
FRERE ET SOEUR , A TOUS MES AMIS
ET ENFIN , A TOUS CEUX QUI ME SONT
CHERS ;

Je leurs dédie ce modeste projet
qui est le résultat de plusieurs années
d'études.

Présentation du sujet:

Notre étude portera sur un chariot à benne peueuse de pont roulant d'une capacité de 8 tonnes qui possède les caractéristiques suivantes:

Charge utile: $8000 [kg]$

Hauteur utile de levage: $8 [m]$

Vitesse de levage: $63 [m/min]$

Régime de fonctionnement III (lourd)

Facteur de marche: 40% (pour le levage)

Vitesse de direction: $30 [m/min]$

Lieu d'implantation: plein air.

Atmosphère normale.

Alimentation triphasée: $220/380 [volts], 50 [Hz]$.

Facteur de marche: 25% (pour la direction)

Il sera muni de deux moteurs électrique sans liaisons mécaniques.

Il sera prévu pour le transbordement de matériaux tels que:

minerai léger de fer: $1,4 [tonne/m^3]$

Sable: $1,6 [tonne/m^3]$

Gravier: $1,6 [tonne/m^3]$

Terre: $1,4 [tonne/m^3]$

CHAPITRE 1

1) II Abstraction :

Le rôle d'un appareil de levage est de soulever des charges de différentes capacités et de les déplacer d'un lieu à un autre.

L'extrême diversité des appareils de levage est due au fait qu'ils doivent s'adapter aux conditions d'exploitation. Grues portatives flottantes, mobiles (sur rails) ou fixes. Grues montées sur roues ou chenilles exploitées essentiellement dans les chantiers. Et enfin tests la gare des ponts roulants. Ces derniers connaissent un champ d'application très vaste.

* Les ponts roulants : Circulent sur des chemins de roulement reliés généralement à la charpente du bâtiment, ainsi les ponts roulants dégagent le sol de l'atelier si bien que le travail et le transport au sol ne sont pas gênés.

* Le chariot : Dans beaucoup de cas on dispose des ponts roulants munis de chariots à ~~basses~~ ~~hautes~~ pour la manutention des matières en vrac tels que minerais, charbon, coke etc... ~~On~~ ~~peut~~ ~~être~~ ~~travaillera~~ sur le dernier type d'appareils de levage plus exactement sur le chariot et la barge proncée.

2) Ponts Roulants :

Comme on a déjà dit, les ponts roulants se trouvent généralement dans les ateliers.

Ils se composent de 3 parties :

- le pont roulant proprement dit, composé de

* 1 à 2 poutres principales servant de chemin de roulement au chariot treuil.

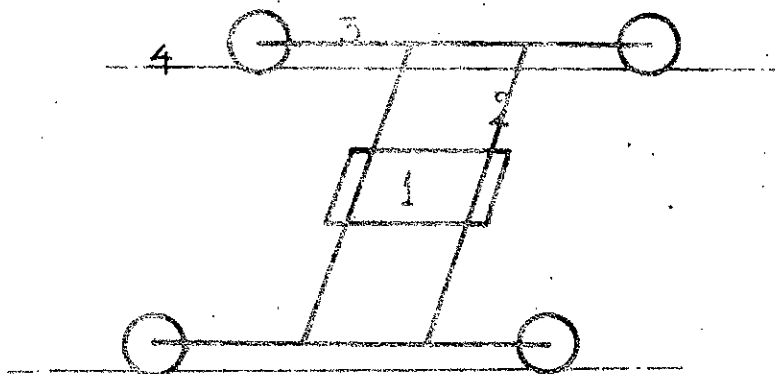
* 2 semelles disposées à angle droit par rapport aux poutres principales et recevant les galets de translation.

- le mécanisme de translation du pont qui repose sur une passerelle.

Le chariot treuil qui est composé de

* 1 mécanisme de translation.

* 1 ou 2 mécanismes de levage.



- 1 Chariot
- 2 poutres principales
- 3 Semelles
- 4 Chemin de roulement

Difficultés sur les chariots :

Définition.

Il a pour rôle de lever et de déplacer des charges.

Il comprend : Un chassis en fer plat (ou profilé) assemblé par une barre servant de support pour les autres éléments.

Un mécanisme de levage (mouvement vertical)

Pour notre cas, un double mécanisme de levage symétrique)

Un mécanisme de direction (mouvement horizontal)

2- Certaines solutions de chariots :

Chariots à un mécanisme de levage.

Chariots à deux mécanismes de levage (pour benne presseuse)

La grande série de chariots qui diffèrent les uns des autres par leurs éléments, tel que l'incorporation du réducteur de levage ou absent, la liaison de ce réducteur au tambour ou un arbre commandé coulissant etc ...

Cette variété est due à la terminaison. Le concept d'un chariot à crochet est différent de celui à benne presseuse par exemple.

Diverses solutions de bennes presseuses :

- Bennes à deux ou quatre cables, les manœuvres des sequilles étant contrôlées par ces cables. Le type de benne presseuse nécessite un treuil spécial à deux tambours.

- Benne à un cable. Ce type fonctionne avec un cable ou une paire de cables entraînant tous les mouvements ensemble. Pour garantir le fonctionnement de la benne, il faut faire appel à certains mécanismes accessoires.

- Benne électrique. La commande électrique pour l'ouverture et la fermeture des sequilles est montée à même la benne.

- Benne hydraulique: commandée par des vérins.

Les bennes à un cable et les bennes électriques ne nécessitent pas de treuils spéciaux, on peut se servir d'un treuil normal conçu pour le travail au crochet.

En plus de ces types principaux, on a développé des exécutions spéciales tels que grappins, bennes à grande ouverture.

On rencontre également des bennes à fond ouvrant ou bennes à nacelles.

4.1. Articulation et description d'une benne articulée à 4 gaiges.

Elles sont utilisées pour le transbordement des matières en vrac. Elles se composent de 2 coquilles guidées par une traverse commune.

Seul le poids propre de la benne intervient pendant les mouvements de charge et décharge.

Séquence de principe de fonctionnement: (voir feuille suivante)

- 1) ouverture et vidange
- 2) repos
- 3) fermeture et remplissage
- 4) fin de fermeture et levage

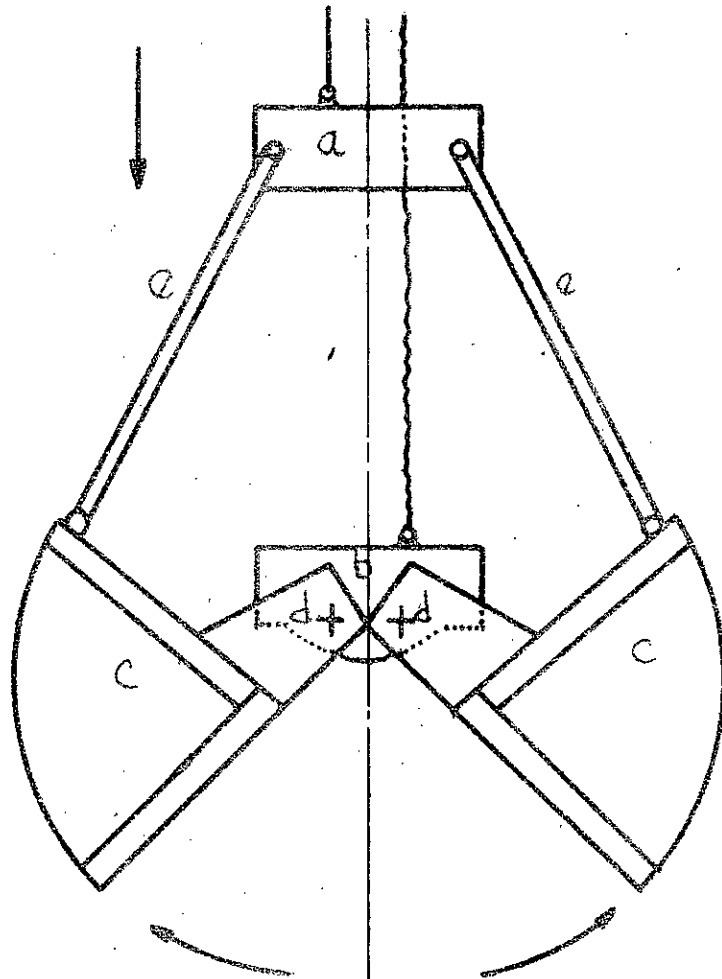
Description

- (a) traverse supérieure
- (b) traverse inférieure
- (c) coquille
- (d) articulation
- (e) tirant

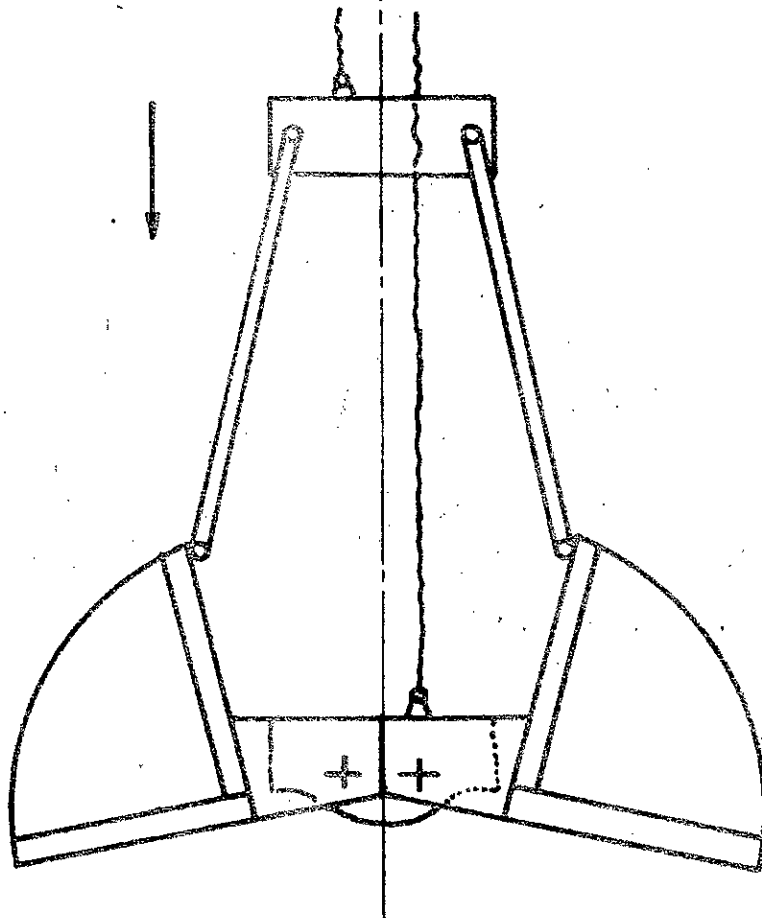
* On peut disposer d'un noufrage pour le câble de levage afin d'augmenter les efforts de fermeture des coquilles.

La réduction de la noufrage dépend de la nature du matériau à prendre

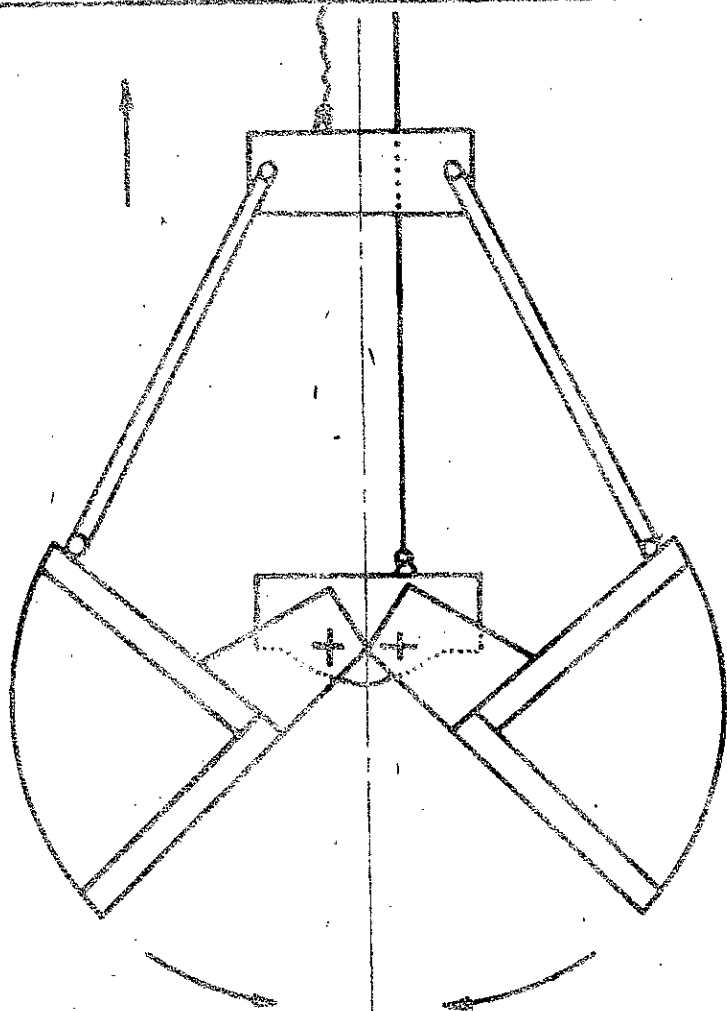
- i = 4 pour charbon
- i = 5 pour coque et minerai
- i = 6 pour minerais difficilement préformables.



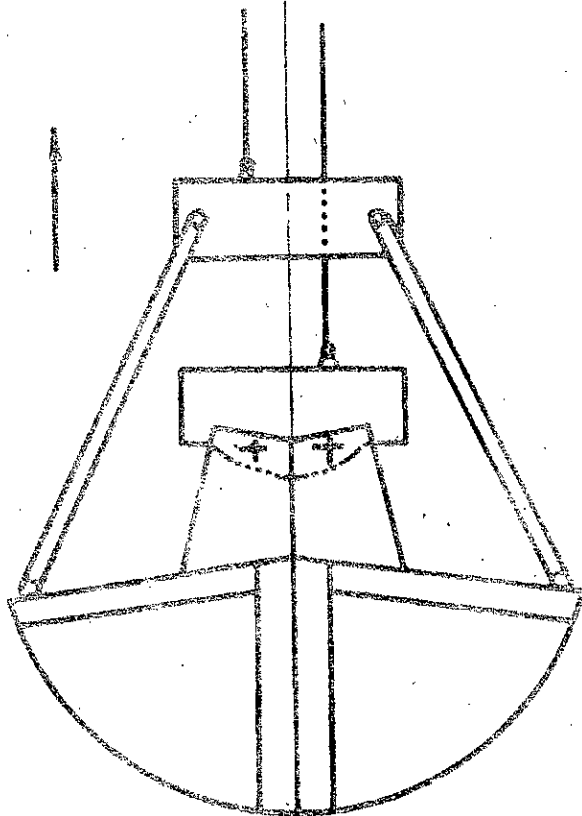
1



2

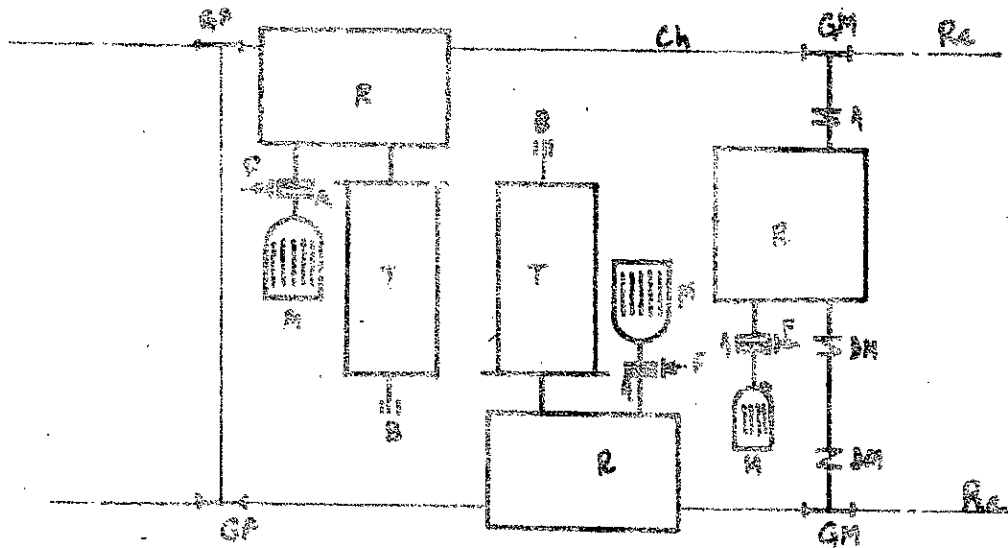


3



4

4.2. Schéma simplifié d'un frein à type 4-voies.



M : moteur électrique

F : frein

A : accouplement

R : réducteur

T : tambour

B : boîtier

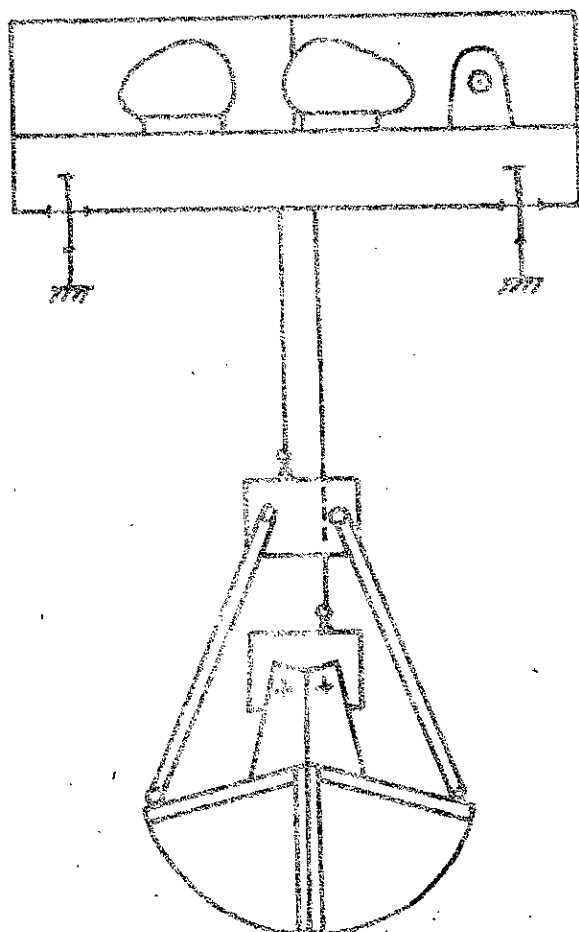
DM : demi-branches à engrenages.

GM : galet moteur

GF : galet fixe

R_a : rail

Ch : chassis



4.3. Etude théorique :

La force de fermeture des crochets est proportionnelle au poids propre de la benne. En dépit de l'augmentation du poids, par suite du remplissage de la benne, la force de fermeture de la benne fermée est inférieure à celle de la benne ouverte. En bonne moyenne, on peut compter que le poids propre de la benne est égal au poids de la charge utile ce qui signifie que le treuil doit toujours entraîner un poids mort de 40 à 60 % de sa force.

D'autres facteurs peuvent s'insérer dans le remplissage tels que : profil de la benne, largeur d'ouverture des crochets. (suivant les essais de Niemann, ce dernier facteur aurait une importance capitale dans le bon remplissage de la benne).

Le chariot possède 2 moteurs distincts pour la commande du tambour de retenue et du tambour de fermeture. Il est possible d'obtenir des mouvements relative des 2 tambours par des moyens purement électriques.

Après la fermeture de la benne, la charge est le plus souvent exclusivement supportée par les cables de fermeture si bien que le moteur de fermeture est surchargé au début. Cependant le moteur de retenue qui est alors branché, travaille à vide et tourne à une vitesse plus élevée de sorte qu'il rattrape bientôt le moteur de fermeture fortement chargé et tournant à une vitesse plus faible. Les cables de retenue sont ainsi tendus et absorbent une partie de la charge.

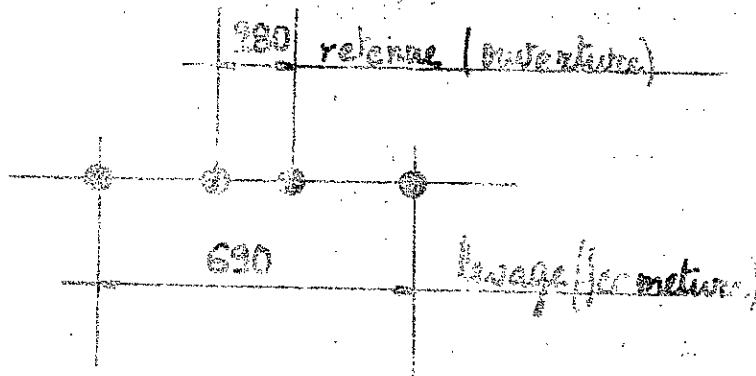
Comme les 2 moteurs sont de la même puissance, et ont la même caractéristique, il s'établit un équilibre correspondant à une répartition presque uniforme de la charge sur les 2 moteurs. Pendant la descente de la benne fermée, on rencontre à peu près les mêmes conditions. Le moteur surchargé prend de l'avance ce qui a pour effet de le décharger et de charger d'avantage l'autre moteur.

Par contre, pendant le levage et la descente de la benne ouverte, les conditions sont fondamentalement différentes, étant donné que les cables de retenue seuls sont chargés avec presque la totalité du poids de la benne ouverte et qu'il n'est pas possible de répartir ce poids sur les 2 cables sans que la benne se ferme. Pendant le levage de la benne ouverte, le moteur de retenue est seul chargé et prend du retard, tandis que le moteur de fermeture tournant à vide prend de l'avance, il en résulte que la benne se ferme très lentement.

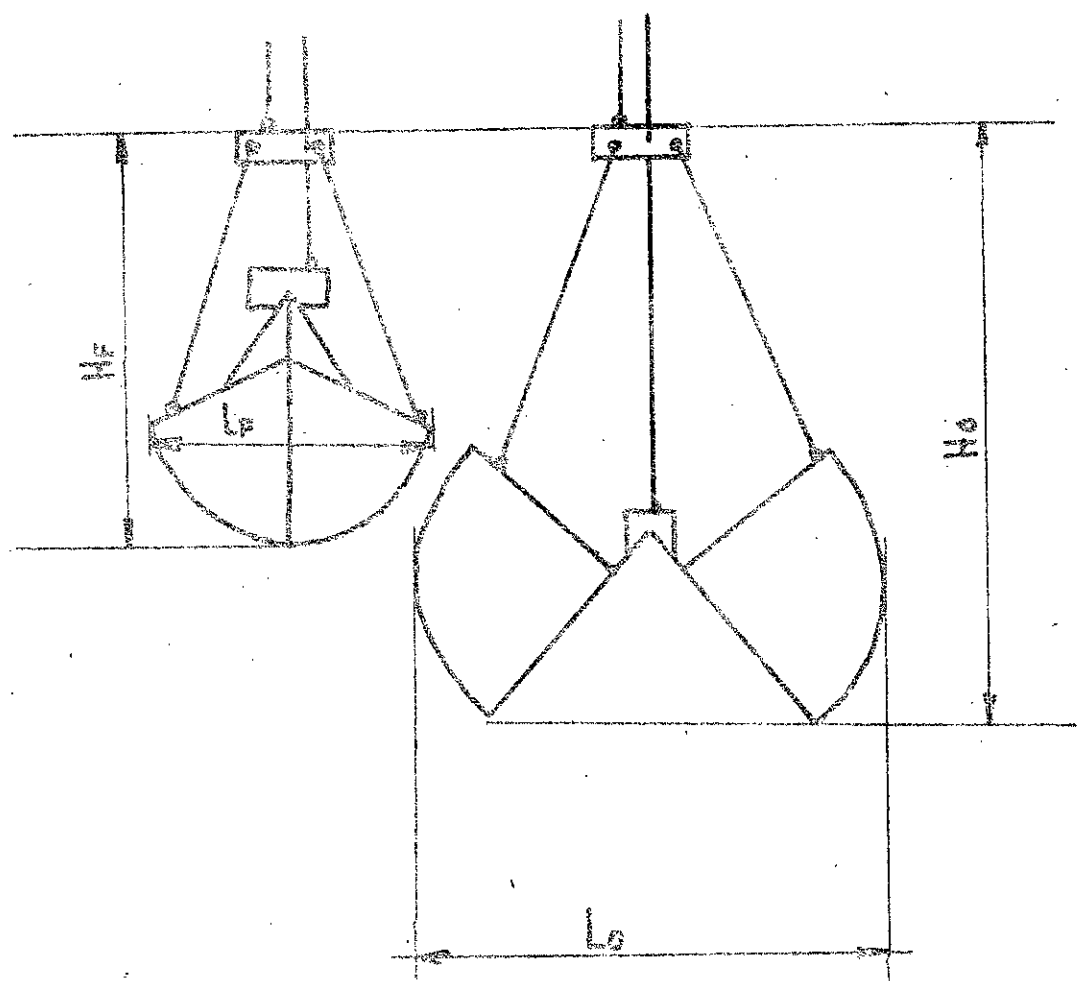
Par contre, pendant la descente, le moteur de fermeture tournant à vide prend du retard par rapport au moteur de retenue chargé, si bien que la benne se ferme de nouveau.

Notre choix portera sur une benne de type BHC 236 système N possédant les caractéristiques suivantes :

- fermeture au moyen de 2 cables de levage.
- ouverture au moyen de 2 cables de retenue.
- poids propre de la benne $G_p = 35 \text{ KN}$ soit une masse morte de $3,5 \cdot 10^3 \text{ Kg}$.
- capacité de 2500 litres.
- surflaps pour cable de levage et fermeture de rapport $i = 5$.
- treillis de mixerai léger de fer ($1,4 \text{ tonnes/m}^2$)
- distance entre les cables.



Dimensions



* Dimensions

Longueur (L_0) = 3320 (mm)

Hauteur (H_0) = 3400 (mm)

Largeur (L_0) = 1580 (mm)

* Dimensions

Longueur (L_p) = 2250 (mm)

Hauteur (H_p) = 3000 (mm)

Largeur (L_p) = 1580 (mm)

Développement (Dev) = 7000 (mm)

CHAPITRE 2

Mécanisme

de

levage

1) Données préliminaires:

$H_u = 8[m]$: hauteur utile de levage.

$v_0 = 63[m/min]$: vitesse de levage.

$Q_u = 80[kN]$: charge utile.

Facteur de Marche : $F.M. = 40\%$

Régime de Travail lourd (II).

Comme on a adopté un double système symétrique de mécanismes de levage nos calculs se feront pour un seul, mécanisme de structure par exemple.

2) Calculs préliminaires:

La multiplicité étant égale à 1, déterminons le rendement global du mécanisme.

$$\eta = \eta_p \cdot \eta_T \cdot \eta_R \quad \text{ou}$$

- η = rendement global

$\eta_p = 1$
- η_p = rendement du plan $\alpha = 1 \Rightarrow \eta_p = 1$

- η_T = rendement du tambour. On adoptera pour ces calculs préliminaires $\eta_T = 0,98$

- η_R = rendement du réducteur. A priori le réducteur possède deux étages de réduction. Engrenages cylindriques, denture hélicoïdale, rendement de chaque étage $\eta'_e = 0,98 \Rightarrow \eta_R = \eta'_e \cdot \eta'_e$ soit

$$\eta_R = 0,96$$

$$\eta_R = 0,96$$

$$d'où \eta = 1,038 \cdot 0,96 = 0,94$$

$$\eta = 0,94$$

2.1) Choix du câble :

Juste à la fin de la fermeture de la benne, toute la charge utile est supportée par le tambour de levage, comme la multiplicité est égale à 1, la charge sera répartie entre deux câbles donc sur chaque brin la force sera $F_c = \frac{Q_u}{2} = \frac{80}{2} = 40 \text{ [kN]}$

$$F_c = 40 \text{ [kN]}$$

La charge de rupture est aut :

$$F_r \geq S_0 F_c \text{ où}$$

F_r : charge de rupture

S_0 : facteur de sécurité du câble. $S_0 = 4,5$

$$F_c = 40 \text{ [kN]}$$

donc

$$F_r \geq 4,5 \cdot 40 = 180 \text{ [kN]}$$

$$F_r = 180 \text{ [kN]}$$

Selon la norme PN-70 M/80229

on choisira un câble Seale-Warrington dont la résistance à la traction

$R_T = 200 \text{ [kg/mm}^2\text{]}$ et dont le diamètre

nominal $d_c = 16,0 \text{ [mm]}$, câble WS16-56=36+A0

$$d_c = 16,0 \text{ [mm]}$$

2.1.1) Vérification du câble :

La résistance nominale du câble choisi est

$$F_{rc} = 220 \text{ [kN]}, \text{ son rendement } \xi = 0,82$$

donc : $F'_{rc} = \xi F_{rc}$ où F'_{rc} : résistance

$$\text{nominale réelle. } F'_{rc} = 0,82 \cdot 220 = 180,4 \text{ [kN]}$$

$$F'_{rc} = 180,4 \text{ [kN]}$$

$F'rc > Fr$ donc le câble est bon.

2.1.2) Détermination du nouveau facteur de sécurité:

$F'rc = S'_0 F_c$ $S'_0 =$ facteur de sécurité du câble choisi

$$S'_0 = \frac{F'rc}{F_c} = \frac{180,4}{40} = 4,51$$

$$S'_0 = 4,5$$

2.2) Calcul du tambour:

2.2.1) Diamètre du tambour:

$D_c \gg d_c \cdot e_1 \cdot e_2$ où

$$d_c = 16,0 \text{ [mm]}$$

- $d_c = 16,0 \text{ [mm]}$

- e_1 : facteur qui dépend du régime de travail, pour notre cas régime III donc

$$e_1 = 22$$

- $e_1 = 22$

- e_2 : facteur qui dépend du câble

$$e_2 = 0,9$$

pour le WS 16-56x36+40 $\Rightarrow e_2 = 0,9$

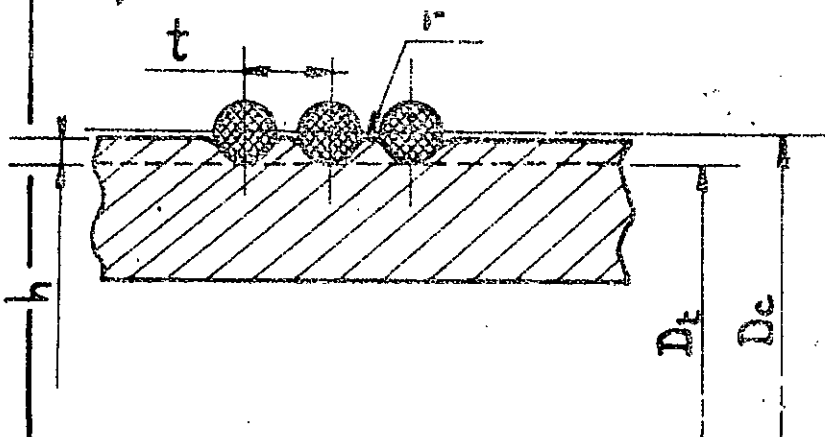
d'où: $D_c \gg 16,0 \cdot 22 \cdot 0,9 = 316,8 \text{ [mm]}$

de la norme NM-72/33302, on choisira un tambour N° 004 DBr de diamètre

$$D_c = 355 \text{ [mm]}$$

$$D_c = 355 \text{ [mm]}$$

Profil du tambour:



toujours d'après la même norme :

le pas t est égal à 17 [mm]

le rayon r est de 1 [mm]

la profondeur du filetage $h = 6 \text{ [mm]}$

$d_{\text{max}} = 16,3 \text{ [mm]}$, $d_{\text{min}} = 15,3 \text{ [mm]}$ sont
les limites des cables que ce tambour
peut accepter.

Diamètre effectif du tambour :

$$D_t = D_c - d_c = 355 - 16 = 339 \text{ [mm]}$$

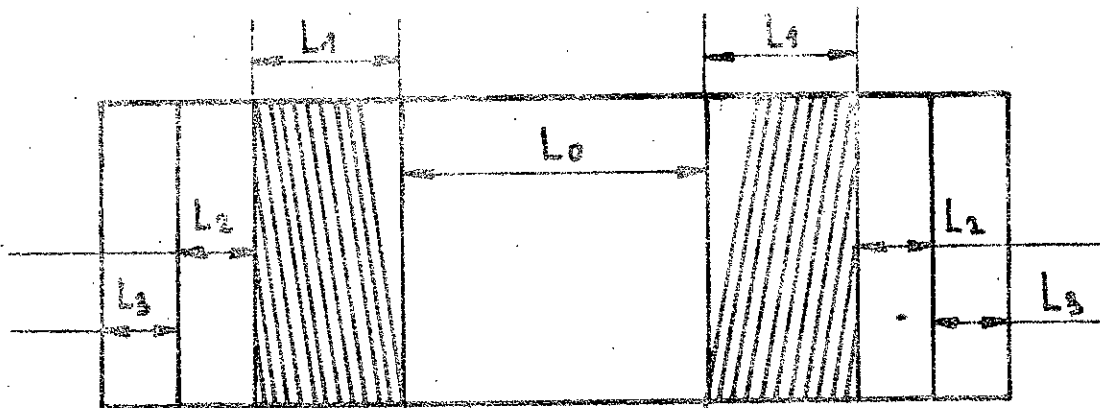
$$t = 17 \text{ [mm]}$$

$$r = 1 \text{ [mm]}$$

$$h = 6 \text{ [mm]}$$

$$D_t = 339 \text{ [mm]}$$

2.2.2) Calcul de la longueur du Tambour :



$$L_t = L_0 + 2(L_1 + L_2 + L_3) \text{ où}$$

- L_t : longueur totale du Tambour

- L_0 : écart entre les cables

- L_1 : longueur effective d'enroulement

- L_2 : longueur de 2 ou 3 filets pour réduire

La force exercée par la charge utile.

- L_3 : 2 ou 3 filets pour la fixation du câble.

Théoriquement les deux tambours n'auront pas la même longueur car pour celui de la fermeture, il faut qu'il assure le développement de la benne et la distance entre les deux câbles est plus importante que celle du Tambour de benne.

2221) Longueur du Tambour de benne:

$$L_R = L_0 + 2(L_1 + L_2 + L_3) \quad \text{où}$$

$$L_0 = 280 \text{ [mm]}$$

$$\psi = 1$$

$$H_u = 8 \cdot 10^3 \text{ [mm]}$$

$$D_c = 355 \text{ [mm]}$$

$$t = 17 \text{ [mm]}$$

$$L_1 = 122 \text{ [mm]}$$

$$L_0 = 280 \text{ [mm]} \quad (\text{voir chapitre 2})$$

$$L_1 = \frac{\psi H_u}{\pi D_c} \cdot t \quad \text{où } \psi: \text{réduction, } \psi = 1$$

$$H_u = 8 \cdot 10^3 \text{ [mm]}$$

$$D_c = 355 \text{ [mm]}$$

$$t = 17 \text{ [mm]}$$

$$\text{Donc } L_1 = \frac{1 \cdot 8 \cdot 10^3}{\pi \cdot 355} \cdot 17 \approx 122 \text{ [mm]}$$

$$L_2 = 34 \text{ [mm]}$$

$$L_2 = L_3 = 2t = 2 \cdot 17 = 34 \text{ [mm]}$$

$$L_3 = 34 \text{ [mm]}$$

et enfin:

$$L_R = 280 + 2(122 + 34 + 34) = 660 \text{ [mm]}$$

$$L_R = 660 \text{ [mm]}$$

2222) Longueur du tambour de fermeture:

A partir de la formule identique à celle d'avant

$$\text{ou a: } L_R = L_0 + 2(L_1 + L_2 + L_3) \quad \text{où}$$

$$L_0 = 690 \text{ [mm]}$$

- $L_0 = 690 \text{ [mm]}$ (voir chapitre 1)

$$L_1 = \frac{4(H_u + D_{ev}) \cdot t}{\pi D_c} \quad \text{ou } D_{ev} = 4 \cdot 10^3 \text{ [mm]}$$

Donc:

$$L_1 = 230 \text{ [mm]}$$

$$L_1 = \frac{1(8+7) \cdot 10^3 \cdot 17}{\pi \cdot 355} = 230 \text{ [mm]}$$

- de même qu'avant on prendra

$$L_2 = 34 \text{ [mm]}$$

$$L_2 = L_3 = 34 \text{ [mm]}$$

$$L_3 = 34 \text{ [mm]}$$

$$\text{et enfin: } L_F = 690 + 2(230 + 34 + 34)$$

$$L_F = 1286 \text{ [mm]}$$

$$L_F = 1286 \text{ [mm]}$$

Du moment que nous prenons des tambours identiques $\Rightarrow L_t = \max(L_R, L_F) = 1286 \text{ [mm]}$

Pratiquement nous prenons $L_t = 1300 \text{ [mm]}$

$$L_t = 1300 \text{ [mm]}$$

Vitesse du câble s'enroulant autour du Tambour:

$$a = \frac{V_t}{V_L} \quad \text{comme } a = 1 \text{ donc}$$

$$V_t = V_L \quad \text{ou } V_t = \text{vitesse du câble}$$

ou vitesse périphérique du tambour.

$V_L = 63 \text{ [m/min]}$ ce qui nous donne pour V_t :

$$V_t = 63 \text{ [m/min]}$$

$$V_t = 63 \text{ [m/min]}$$

Vitesse de rotation du Tambour:

$$N_t = \frac{V_t}{\pi D_c} \quad \text{ou } V_t = 63 \text{ [m/min]}$$

$$D_c = 355 \cdot 10^{-3} \text{ [m]}$$

et N_t : vitesse de rotation du Tambour en $[\text{tr/min}]$

ou aussi alors:

$$N_t = \frac{63}{\pi \cdot 355 \cdot 10^{-3}} = 56,5 \text{ [tr/min]}$$

$$N_t = 56,5 \text{ [tr/min]}$$

2.3) Choix des moteurs électriques:

Du moment qu'on dispose d'une source de courant triphasé il est commode d'utiliser des moteurs électriques pour manœuvrer le mécanisme. Vu le régime III (lourd) de travail il est important d'utiliser des moteurs qui fassent supporter des couples de démarrage importants.

La puissance statique sera donnée par la relation: $P_s' = \frac{Q_u \cdot V_L}{\eta}$ où

$$Q_u = 80 \text{ [kN]}$$

$$- Q_u = 80 \text{ [kN]}$$

$$V_L = 1,05 \text{ [m/s]}$$

$$- V_L = 63 \text{ [m/min]} \text{ soit } 1,05 \text{ [m/s]}$$

$$\eta = 0,94$$

$$- \eta = 0,94$$

et enfin

$$P_s' = \frac{80 \cdot 1,05}{0,94} = 89,36 \text{ [kW]} \approx P_s' = 90 \text{ [kW]}$$

$$P_s' = 90 \text{ [kW]}$$

Donc pour chaque moteur

$$P_s = (0,5 \div 0,6) P_s' = (0,5 \div 0,6) 90 \text{ [kW]}$$

$$\text{soit } P_s = (45 \div 54) \text{ [kW]}$$

Notre choix portera sur un moteur ASEA type Mare 25 N° CEI 2805 possédant les caractéristiques suivantes:

$$P_e: \text{ puissance relevée sur catalogue: } 52 \text{ [kW]}$$

$$P_e = 52 \text{ [kW]}$$

$$N_e: \text{ Vitesse de rotation de } 970 \text{ [tr/min]}$$

$$N_e = 970 \text{ [tr/min]}$$

$$I_{rc}: \text{ moment d'inertie du rotor de } 1,97 \text{ [kg} \cdot \text{m}^2]$$

$$I_{rc} = 1,97 \text{ [kg} \cdot \text{m}^2]$$

$$\text{masse du moteur: } m = 650 \text{ [kg]}$$

$$m = 650 \text{ [kg]}$$

2.3.1) Détermination du moment nominal:

$$M_{nom} = \frac{30 \cdot P_e}{\pi N_c}$$

$$P_e = 52 \text{ [kW]}$$

$$N_c = 970 \text{ [tr/min]}$$

$$\text{D'où } M_{nom} = \frac{30 \cdot 52 \cdot 10^3}{\pi \cdot 970} = 512 \text{ [N.m]}$$

$$M_n = 512 \text{ [N.m]}$$

2.3.2) Détermination du moment maximum:

D'après le moteur choisi on a la relation

$$\frac{M_{max}}{M_{nom}} = 2,8 \quad \text{D'où } M_{max} = 2,8 \cdot M_{nom}$$

$$M_{max} = 2,8 \cdot 512 = 1434 \text{ [N.m]}$$

$$M = 1434 \text{ [N.m]}$$

Fréquence du moteur 50 [Hz] , vitesse de synchronisme 1000 [tr/min] , moteur à rotor bobiné à bagues.

2.4) Choix du réducteur:

En tenant compte de la puissance statique du moteur et de la vitesse de rotation d'entrée on calculera tout d'abord le rapport de réduction: $i_m = \frac{N_c}{N_e}$ où

$$N_c = 970 \text{ [tr/min]}$$

$$N_e = 56,5 \text{ [tr/min]}$$

$$\text{D'où } i_m = \frac{970}{56,5} = 17,17$$

$$i_m = 17,17$$

de la norme NM-64/32512 on choisira un réducteur horizontal de type 2W500 qui

possède les caractéristiques suivantes:

- P_{ad} = puissance admissible de 94 [kW]
- N_{ad} = vitesse de rotation de 1000 [tr/min]
- i_{re} : rapport de réduction de 17,73
- m : une masse de 418 [kg]

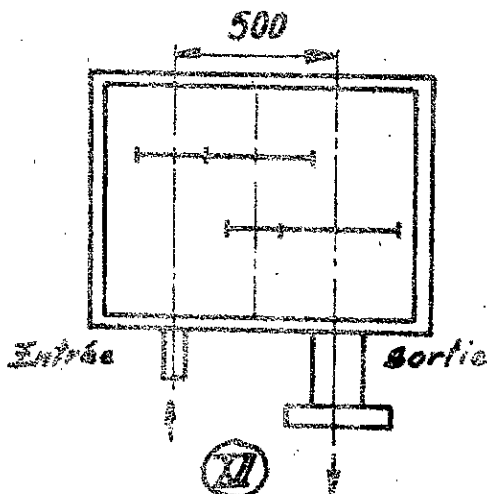
$P_{ad} = 94$ [kW]
 $N_{ad} = 1000$ [tr/min]
 $i_{re} = 17,73$
 $m = 418$ [kg]

Vérification du rapport de réduction:

$$\Delta i = \left| \frac{i_m - i_{re}}{i_m} \right| \cdot 100 = \left| \frac{17,17 - 17,73}{17,17} \right| \cdot 100 \text{ soit}$$

$\Delta i = 3,3\% < 10\%$ donc ce réducteur est bon du point de vue rapport de transmission usuellement.

$\Delta i = 3,3\%$



25) Choix du frein:

Déterminons le facteur de sécurité d'après le tableau suivant:

	très léger	léger	moyen	lourd	très lourd
régime de fonctionnement	0	I	II	III	IV
facteur de sécurité	1,25	1,50	1,75	2,00	2,50

pour votre cas, réprime m nous donne un
facteur de sécurité du frein $S_{FP} = 2,00$

$S_{FP} = 2,00$

d'après l'inégalité:

$$M_f \geq S_{FP} \cdot M_{SD} \text{ où}$$

M_f = moment de freinage

$$S_{FP} = 2,0$$

M_{SD} : moment statique du moteur pendant
la descente. (le cas le plus défavorable pour
le frein)

$$M_{SD} = \frac{(Q_u/2) D_c \cdot \eta}{2a \cdot i_{re}} \text{ où}$$

$$Q_u = 8 \cdot 10^3 \text{ [kg]}$$

$$Q_u = 8 \cdot 10^3 \text{ [kg]}$$

$$D_c = 355 \cdot 10^{-3} \text{ [m]}$$

$$D_c = 355 \cdot 10^{-3} \text{ [m]}$$

$$a = 1$$

$$a = 1$$

$$i_{re} = 14,73$$

$$i_{re} = 14,73$$

$$\eta = 0,94$$

$$\eta = 0,94$$

donc

$$M_{SD} = 376,4 \text{ [N.m]}$$

$$M_{SD} = \frac{(8 \cdot 10^3 / 2) 355 \cdot 10^{-3}}{2 \cdot 1 \cdot 14,73} \cdot 0,94 = 376,4 \text{ [N.m]}$$

donc

$$M_f \geq 2,00 \cdot 376,4 = 752,8 \text{ [N.m]} \text{ soit}$$

$$M_f \geq 753 \text{ [N.m]}$$

ou choisira un frein de moment de
freinage M_{fc} tel que $M_{fc} > M_f$.

de la norme NF-68/32606 type ZHA 75/45/12

N° 016 AHM (à commande électro-hydraulique)

qui présente les caractéristiques suivantes:

M_{je} : moment de freinage de (800-1200) (N.m)

$n_{fc} = 800-1200$ (tr/min)

une masse m de 107 (kg)

$m = 107$ (kg)

un diamètre de pulie de freinage de 400 (mm)

2.6) Choix de l'accouplement:

Le choix de l'accouplement se fera à la base du moment maximum à transmettre.

$M_{acc} \gg k_1 \cdot k_2 \cdot k_3 \cdot M_{nom}$ où

- k_1 : coefficient qui dépend du type de moteur et du régime de fonctionnement pour le régime III et un moteur électrique ou traquer $k_1 = 1,7$.

- k_2 : coefficient qui dépend du temps de travail par 24 heures et du régime de travail; pour une charge relative moyenne $> 45\%$, 15 heures par jour soit < 4500 heures par an, régime III, ou

prendra $k_2 = 1,12$

- k_3 : coefficient dépendant du nombre de cycles par heure; $k_3 = 1,15$

- $M_{nom} = 512$ (N.m)

enfin

$M_{acc} \gg 1,7 \cdot 1,12 \cdot 1,15 \cdot 512 = 1124$ (N.m)

Notre choix portera sur un accouplement électrique de la norme NM-42/32340

$k_1 = 1,7$

$k_2 = 1,12$

$k_3 = 1,15$

$M_{nom} = 512$ (N.m)

$M_{acc} \gg 1124$ (N.m)

N° 020ATp qui possède les caractéristiques
suivantes :

$M_{ac} =$ moment admissible de 1000 (N.m)

$N_{oc} =$ vitesse de rotation admissible de 1200 (tr/min)

$I_{ac} =$ moment d'inertie de rotation de 1,1 kg.m²
une masse de (60-66) (kg)

Diamètre extérieur $D_{ext} = 400$ (mm) correspon-
-dant au frein.

$M_{ac} = 1000$ (N.m)

$N_{oc} = 1200$ (tr/min)

$I_{ac} = 1,1$ (kg.m²)

$m = 60-66$ (kg)

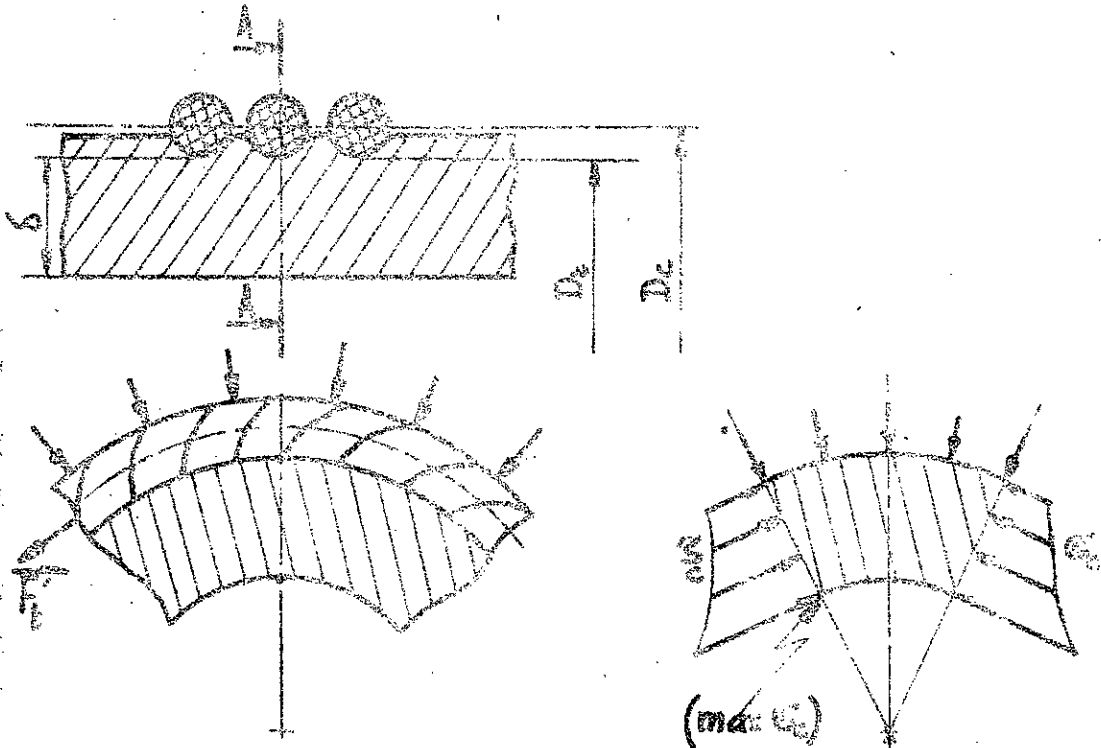
3) Vérification de la résistance des éléments:

3a) Tambour:

3a1) Epaisseur de la paroi:

$\frac{L_T}{D_t} = \frac{1500}{342} = 3,873$ donc on doit tenir compte des contraintes de compression de flexion et de torsion.

3a11) Contrainte de compression:



pour un élément de tambour et d'après la relation de Lamé

$$\max \sigma_c = \frac{F_t \cdot D_t}{2t \cdot (D_t - t)} \leq [\sigma_c] \quad (*)$$

$[\sigma_c] = k \sigma_c$ où k : coefficient de sécurité
où σ_c : contrainte admissible à la compression.

pour la relation (*) δ représente l'épaisseur de la paroi du tambour.

prenons $\delta = 16 \text{ [mm]}$ et vérifions l'inégalité (*)

$$F' t = 40 \cdot 10^3 \text{ [N]}$$

$$D_t = 339 \text{ [mm]}$$

$$k = 1,5$$

$$t = 17 \text{ [mm]}$$

$$\text{donc: } \frac{4 \cdot 10^4 \cdot 339}{17 \cdot 16 (339 - 16)} \cdot 1,5 \stackrel{?}{\leq} \sigma_s$$

il faut que $\sigma_s \geq 231 \text{ [N/mm}^2]$ soit

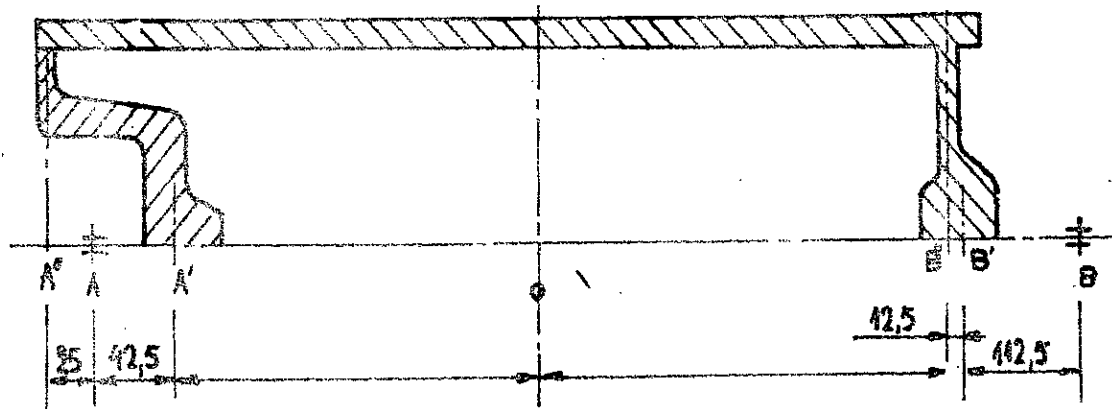
$$\sigma_s \geq 2310 \text{ [daN/cm}^2]$$

pour acier moulu A48M, la contrainte admissible à la compression $\sigma_{ac} = (2000 - 2800) \text{ [daN/cm}^2]$, la contrainte σ_s appartient bien à ce domaine donc l'épaisseur 16 [mm] de la poutre conviendrait parfaitement.

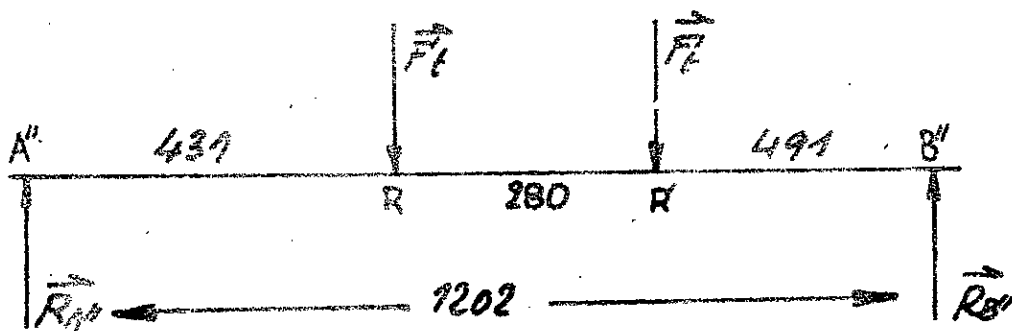
3.9.2) Contrainte de flexion et de torsion:

La flexion est la plus importante pour le tambour d'ouverture donc vérifions ce dernier seulement. Il va de soi que le tambour de fermeture sera vérifié si celui de retour l'est.

La construction nous donne le schéma



Coupe du Tambour de retenue en acier moulé
le schéma cinématique sera comme suit :



Détermination des réactions $\vec{R}_{A''}$ et $\vec{R}_{B''}$

$$(\sum M)_{A''} = 0 \Rightarrow F'l (2A''R + RR') = R_{B''} \cdot A''B''$$

donc

$$R_{B''} = F'l \cdot \frac{2A''R + RR'}{A''B''}$$

d'après le schéma cinématique

$$R_{B''} = 40 \cdot \frac{2 \cdot 437 + 280}{1202} = 39,3 \text{ [kN]}$$

$$R_{B''} = 39,3 \text{ [kN]}$$

l'équilibre des forces nous donne

$$R_A'' + R_B'' = 2 F'l \text{ donc}$$

$$R_A'' = 407 \text{ [kN]}$$

$$R_A'' = 407 \text{ [kN]}$$

$$R_A = 40,7 \text{ (kN)}$$

$$M_{JR} = R_A \cdot \overline{A''R} = 40,7 \cdot 431 = 17,54 \cdot 10^3 \text{ [N.m]}$$

$$R_B = 49,3 \text{ (kN)}$$

$$M_{JR'} = R_B \cdot \overline{R''B''} = 49,3 \cdot 491 = 24,3 \cdot 10^3 \text{ [N.m]}$$

$$R_C = 39,3 \text{ (kN)}$$

$$\overline{R''B''} = 491 \text{ (mm)}$$

Calcul des moments de torsion :

$$F_t = 40 \text{ (kN)}$$

$$M_{tR} = 2F_t \cdot \frac{D_e}{2} = 40 \cdot 355 = 14,2 \cdot 10^3 \text{ [N.m]}$$

$$r_c = 355 \text{ (mm)}$$

$$M_{tR'} = \frac{M_{tR}}{2} = \frac{14,2 \cdot 10^3}{2} = 7,1 \cdot 10^3 \text{ [N.m]}$$

Calcul de la contrainte équivalente :

$$\sigma_e = \frac{\sqrt{M_f^2 + 0,75 \cdot M_t^2}}{w} \quad \text{ou}$$

σ_e : contrainte équivalente

$$M_f = \max(M_{JR}, M_{JR'}) = 24,3 \cdot 10^3 \text{ [N.m]}$$

$$M_t = \max(M_{tR}, M_{tR'}) = 14,2 \cdot 10^3 \text{ [N.m]}$$

w : module de résistance

$$w = 0,1 \frac{D_f^4 - (D_f - 2\delta)^4}{D_f} \quad \begin{array}{l} D_f = 339 \text{ (mm)} \\ \delta = 16 \text{ (mm)} \end{array}$$

$$\Rightarrow w = 0,1 \cdot \frac{339^4 - (339 - 16)^4}{339} \text{ [mm}^3\text{]}$$

$$\text{d'où } w = 12,7 \cdot 10^5 \text{ [mm}^3\text{]} \text{ soit } w = 12,7 \cdot 10^{-6} \text{ [m}^3\text{]}$$

et enfin :

$$\sigma_e = \frac{\sqrt{(24,3 \cdot 10^3)^2 + 0,75 \cdot (14,2 \cdot 10^3)^2}}{12,7 \cdot 10^{-6}} \cdot 10^{-6} \text{ MPa} = 95,2 \text{ (MPa)} \quad \sigma_e = 95,2 \text{ (MPa)}$$

Calcul de la contrainte de compression :

$$\sigma_c = \frac{F_t \cdot D_t}{\gamma \cdot t \cdot (D_t - \delta)} \quad \bar{m}$$

$$F_t = 40 \text{ [kN]}$$

$$D_t = 339 \text{ [mm]}$$

$$\delta = 16 \text{ [mm]}$$

$$t = 12 \text{ [mm]}$$

donc

$$\sigma_c = \frac{40 \cdot 10^3 \cdot 339 \cdot 10^{-3}}{16 \cdot 10^{-3} \cdot 12 \cdot 10^{-3} \cdot (339 - 16) \cdot 10^{-3}} \cdot 10^6 \text{ [MPa]}$$

soit $\sigma_c = 156 \text{ [MPa]}$

$$\sigma_c = 156 \text{ [MPa]}$$

Détermination de la contrainte principale:

$$\sigma_2 = \sqrt{\sigma_e^2 + \sigma_c^2}$$

soit

$$\sigma_e = 15,2 \text{ [MPa]}$$

$$\sigma_c = 156 \text{ [MPa]}$$

$$\sigma_2 = \sqrt{15,2^2 + 156^2} = 156,8 \text{ [MPa]}$$

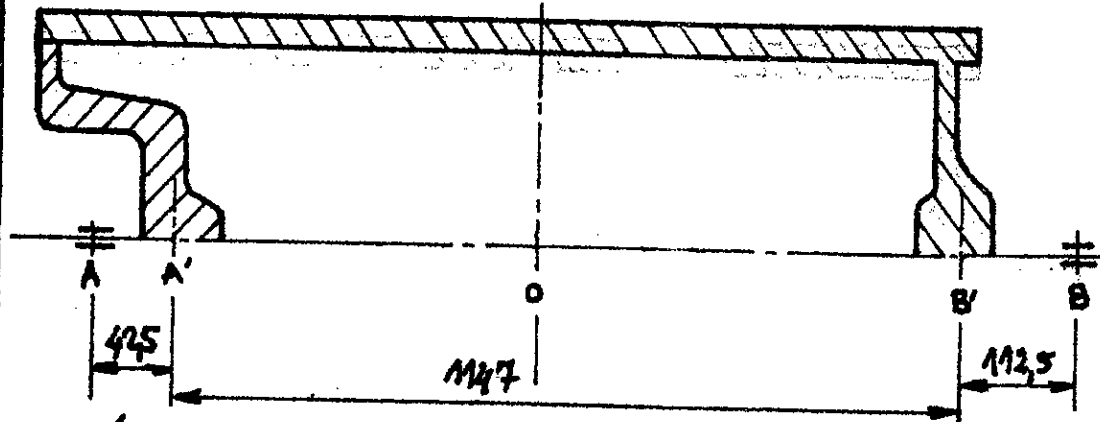
$$\sigma_2 = 156,8 \text{ [MPa]}$$

$$\text{comme } [\sigma_e] = \frac{\sigma_s}{k} = \frac{239}{1,5} = 159 \text{ [MPa]}$$

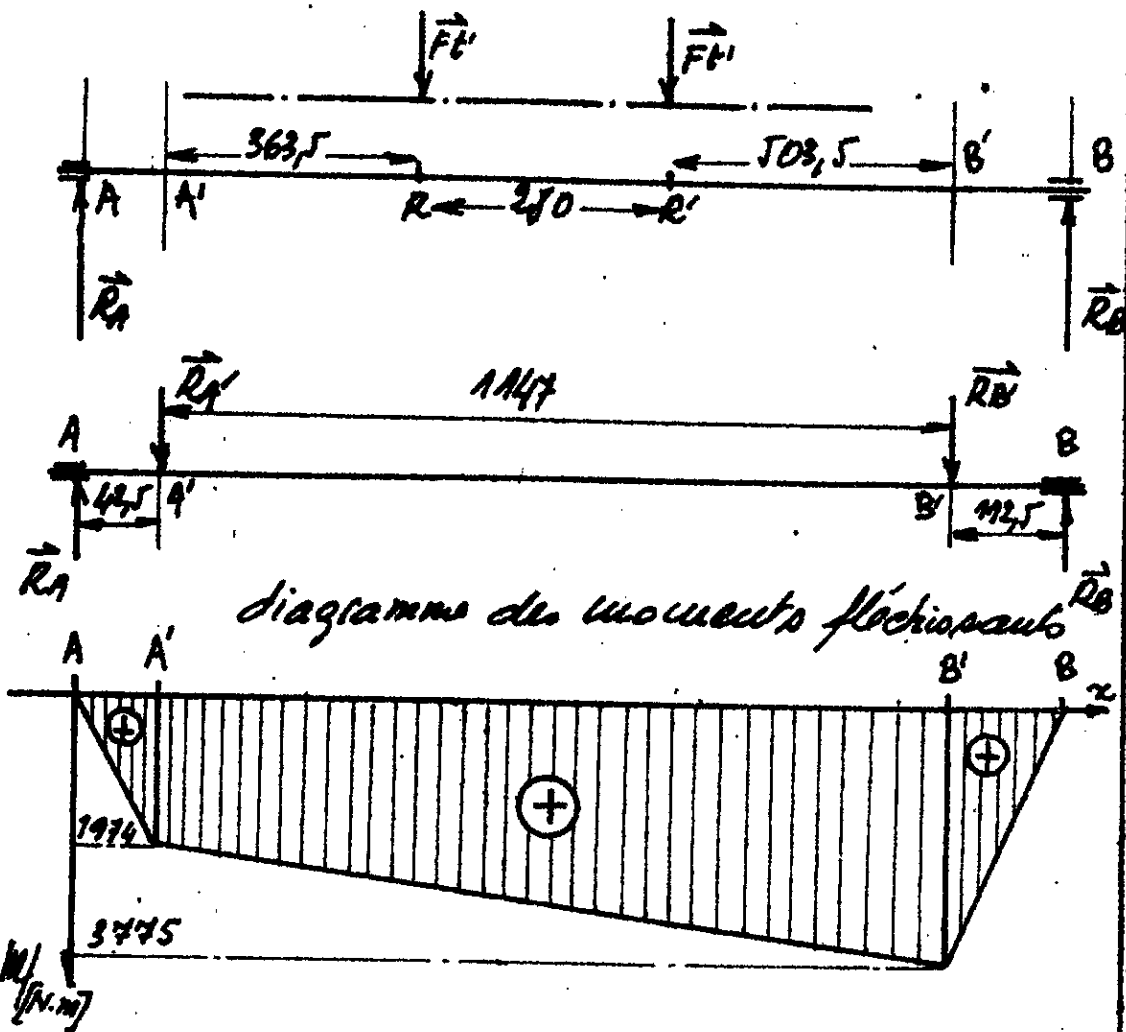
ou a σ_2 sensiblement égale à $[\sigma_e]$
 donc pour être sûr de ne pas avoir
 de contraintes de flexion et torsion
 on n'aura qu'à augmenter légèrement
 σ_s de telle manière à avoir
 l'inégalité $[\sigma_e] > \sigma_2$.

3.1.2) Vérification de l'axe du Tambour (Arbre):

Ou remarque que l'axe du Tambour n'est pas soumis qu'à la flexion. La construction sera donc le schéma suivant:



le schéma cinématique sera donc:



on veut maintenant R_A et R_B :

Dans notre calcul, on négligera le poids propre du tambou qui est petit devant les forces mises en jeu.

$(\sum M)_{A'} = 0$ à l'équilibre:

soit

$$F_t' (2\bar{A'R} + \bar{R'R'}) = R_B' \cdot \bar{A'B'}$$

soit

$$R_B' = F_t' \cdot \frac{2\bar{A'R} + \bar{R'R'}}{\bar{A'B'}} = 40 \cdot \frac{2 \cdot 363,5 + 280}{1147} =$$

$$R_B' = 35,12 \text{ [kN]}$$

l'équilibre des forces nous donne

$$R_B' + R_A' = 2F_t' \quad \text{soit}$$

$$R_A' = 2F_t' - R_B' = 2 \cdot 40 - 35,12 = 44,88 \text{ [kN]}$$

Calcul des réactions R_A et R_B :

$(\sum M_A) = 0$ nous donne:

$$R_A' \cdot \bar{AA'} + R_B' \cdot \bar{AB'} = R_B \cdot \bar{AB}$$

$$\text{soit } R_B = \frac{R_A' \cdot \bar{AA'} + R_B' \cdot \bar{AB'}}{\bar{AB}}$$

$$\text{où } \bar{AA'} = 42,5 \cdot 10^{-3} \text{ [m]}$$

$$\bar{AB'} = (42,5 + 1147) 10^{-3} \text{ [m]}$$

$$\bar{AB} = (42,5 + 1147 + 112,5) 10^{-3} \text{ [m]}$$

et enfin:

$$R_B = \frac{44,88 \cdot 0,0425 + 35,12 \cdot 1,1895}{1,302} = 33,55 \text{ [kN]}$$

$$R_A = 363,5 \text{ [kN]}$$

$$R_B = 280 \text{ [kN]}$$

$$A'B = 1147 \text{ [kN]}$$

$$F_t = 40 \text{ [kN]}$$

$$R_B = 35,12 \text{ [kN]}$$

$$R_A = 44,88 \text{ [kN]}$$

$$R_A = 44,88 \text{ [kN]}$$

$$R_B = 35,12 \text{ [kN]}$$

$$R_B = 33,55 \text{ [kN]}$$

l'équilibre des forces nous donne:

$$R_A + R_B = R_{A'} + R_{B'}$$

Donc $R_A = R_{A'} + R_{B'} - R_B$

$$R_{A'} = 44,88 \text{ [kN]}$$

$$R_{B'} = 35,12 \text{ [kN]}$$

$$R_B = 33,55 \text{ [kN]}$$

Donc $R_A = 44,88 + 35,12 - 33,55 = 46,45 \text{ [kN]}$

$$R_A = 46,45 \text{ [kN]}$$

Détermination des moments fléchissant en

A' et B' :

$$M_{A'} = R_A \cdot \overline{AA'} \text{ soit}$$

$$R_A = 46,45 \text{ [kN]}$$

$$\overline{AA'} = 42,5 \text{ [mm]}$$

Donc $M_{A'} = 1974 \text{ [N.m]}$

$$M_{A'} = 1974 \text{ [N.m]}$$

$$M_{B'} = R_B \cdot \overline{BB'} \text{ soit}$$

$$R_B = 33,55 \text{ [kN]}$$

$$\overline{BB'} = 112,5 \text{ [mm]}$$

Donc $M_{B'} = 3775 \text{ [N.m]}$

$$M_{B'} = 3775 \text{ [N.m]}$$

voir épure des moments fléchissants:

D'après la construction toujours, les diamètres en A' et B' sont égaux à 80 [mm].

il s'agit de vérifier la résistance en ces endroits.

$$\sigma = \frac{M_f}{W_x}$$

où M_f = moment fléchissant

et W_x : module de résistance

$$W_x = 0,1 d^3 \text{ donc pour les 2 cas}$$

$$W_x = 0,1 \cdot (80 \cdot 10^{-3})^3 = 512 \cdot 10^{-7} \text{ [m}^3]$$

$$W_x = 512 \cdot 10^{-7} \text{ [m}^3]$$

Contrainte en A' :

$$\sigma_{A'} = \frac{M/A'}{W_x} \quad \text{ou} \quad M/A' = 1974 \text{ [N.m]}$$

$$\sigma_{A'} = \frac{1974 \cdot 10^{-6} \text{ [MPa]}}{512 \cdot 10^{-7}} = 38,6 \text{ [MPa]}$$

$$\sigma_{A'} = 38,6 \text{ [MPa]}$$

Contrainte en B' :

$$\sigma_{B'} = \frac{M/B'}{W_x} \quad \text{ou} \quad M/B' = 3775 \text{ [N.m]}$$

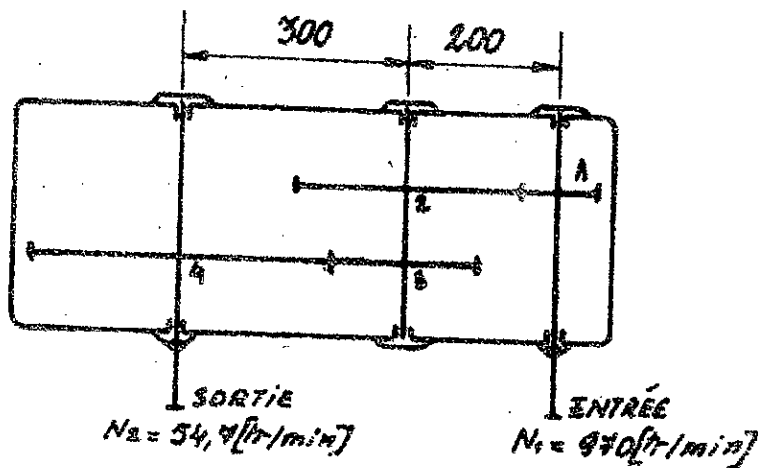
$$\sigma_{B'} = \frac{3775 \cdot 10^{-6} \text{ [MPa]}}{512 \cdot 10^{-7}} = 73,7 \text{ [MPa]}$$

$$\sigma_{B'} = 73,7 \text{ [MPa]}$$

pour les poutres A' et B' les contraintes sont égales à celles d'un acier ordinaire.

3.2) Vérification du réducteur:

le réducteur qu'on a choisi possède deux étages de type 2W500, de rapport de réduction total $i_{rc} = 17,43$ et une puissance de 52 [kW], engrenages cylindro-driques, denture hélicoïdale et de schéma cinématique comme suit:



Rapport de réduction du 1^{er} étage: i_1

Rapport de réduction du 2^{ème} étage: i_2

$i_{rc} = i_1 \cdot i_2$ de telle manière que

$$i_1 = \frac{Z_2}{Z_1} \quad \text{et} \quad i_2 = \frac{Z_4}{Z_3} \quad \text{ou}$$

Z_i = nombre de dents de la roue i .

adoptons dans un premier temps

$$Z_1 = 17, \quad Z_2 = 77 \quad \left. \begin{array}{l} \\ \\ \end{array} \right\} \quad i_1 = \frac{77}{17} = 4,53$$

$$Z_3 = 19, \quad Z_4 = 75 \quad \left. \begin{array}{l} \\ \\ \end{array} \right\} \quad i_2 = \frac{75}{19} = 3,92$$

$$i_1 \cdot i_2 = 4,53 \cdot 3,92 = 17,88.$$

Vérification du rapport de réduction:

$$Di = \left| \frac{i_{\text{max}} - i_{\text{re}}}{i_{\text{max}}} \right| / 100 = \left| \frac{14,88 - 14,43}{14,88} \right| / 100$$

soit $Di = 0,84\% < 4\%$. donc, du point de vue de la réduction, le choix reste satisfaisant.

Vitesses angulaires des trois arbres:

$$N_1 = 970 \text{ (tr/min)}$$

- arbre d'entrée: $\omega_1 = \frac{\pi N_1}{30} = \frac{\pi \cdot 970}{30} = 101,58 \text{ (rad/s)}$

$$\omega_1 = 101,58 \text{ (rad/s)}$$

$$i_1 = 4,53$$

- arbre intermédiaire: $\omega' = \omega_1 \cdot \frac{1}{i_1} = \frac{101,58}{4,53} = 22,43 \text{ (rad/s)}$

$$\omega' = 22,43 \text{ (rad/s)}$$

$$i_{\text{totale}} = 14,88$$

- arbre de sortie: $\omega_2 = \omega_1 \cdot (i_{\text{totale}})^{-1} = \frac{101,58}{14,88} = 5,7 \text{ (rad/s)}$

$$\omega_2 = 5,7 \text{ (rad/s)}$$

Rendement global du réducteur:

pour les engrenages cylindriques les rendements sont de l'ordre de $0,98 = \eta'$ donc pour deux étages en série:

$$\eta = (0,98)^2 = 0,96$$

$$\eta = 0,96$$

puissances sur les arbres:

d'une manière générale:

$$P_1 = 52 \text{ [kW]} \text{ hypothèse de départ.}$$

$$P' = \eta' \cdot P_1 = 0,98 \cdot 52 = 50,96 \text{ [kW]}$$

$$P_2 = \eta' \cdot P' = \eta \cdot P_1 = 0,96 \cdot 52 = 49,94 \text{ [kW]}$$

$$P_1 = 52 \text{ [kW]}$$

$$P' = 50,96 \text{ [kW]}$$

$$P_2 = 49,94 \text{ [kW]}$$

Calcul des couples:

$$M_n = \frac{P}{\omega} \text{ Joule}$$

$$P_1 = 52 \text{ [kW]}$$

$$v_1 = 104,6 \text{ [s}^{-1}\text{]}$$

$$P_2 = 50,94 \text{ [kW]}$$

$$v_2 = 22,43 \text{ [s}^{-1}\text{]}$$

$$P_3 = 40,94 \text{ [kW]}$$

$$v_3 = 5,7 \text{ [s}^{-1}\text{]}$$

$$M_{n1} = P_1 / \omega_1 = \frac{52 \cdot 10^3}{104,6} = 511,9 \text{ [N.m]}$$

$$M_{n2} = P_2 / \omega_2 = \frac{50,94 \cdot 10^3}{22,43} = 2272 \text{ [N.m]}$$

$$M_{n3} = P_3 / \omega_3 = \frac{40,94 \cdot 10^3}{5,7} = 8792 \text{ [N.m]}$$

$$M_{n1} = 511,9 \text{ [N.m]}$$

$$M_{n2} = 2272 \text{ [N.m]}$$

$$M_{n3} = 8792 \text{ [N.m]}$$

Calcul à la résistance des dents:

Vérification à la rupture:

Premier étage:

$$m_1 \geq \sqrt[3]{\frac{2 M_{n1}}{Z_1^2 \left(\frac{b}{d_1}\right) \sigma_{blim}} \cdot \frac{Y_F \cdot Y_E \cdot Y_B}{K_V \cdot K_A \cdot K_M \cdot K_{\beta L}}} \quad \text{ou}$$

$$M_{n1} = 511,9 \text{ [N.m]}$$

- M_{n1} : couple sur le pignon

- $Z_1 = 17$

- $\left(\frac{b}{d_1}\right)$: le rapport de la largeur de denture sur le diamètre primitif. On adopte

$$\left(\frac{b}{d_1}\right) = 1,2$$

$$\left(\frac{b}{d_1}\right) = 1,2$$

- σ_{blim} : valeur limite de base ayant un rapport avec la nature du matériau du pignon. Pour un acier allié de cémentation d'une résistance à la rupture de 120 [Hbar] ou a $\sigma_{blim} = 35$ [Hbar] soit 400 [MPa]

$$\sigma_{blim} = 400 \text{ [MPa]}$$

K_v : facteur de vitesse dépend de la vitesse périphérique du pignon et de la classe de précision.

pour une vitesse périphérique de 5 (m/s) genre classe ISO ou a

$$K_v = 0,73$$

$$K_v = \frac{6}{6 + \sqrt{5}} = 0,73$$

K_a : facteur de service, dépend de l'organe moteur et du degré de choc.

pour un moteur électrique, degré de choc II et pour un travail de 12 heures par jour au maximum:

$$K_a = 0,8$$

$$K_a = 0,8 \text{ ou } \left(\frac{1}{1,25}\right)$$

K_{bl} : facteur de durée: dépend de la vitesse de rotation du moteur et de la longévité du réducteur.

on adopte une longévité de 10 000 heures et une vitesse de rotation de 970 (tr/min) ou détermine $K_{bl} = 0,67$

$$K_{bl} = 0,67$$

K_M : facteur de portée, dépend du rapport $\left(\frac{b}{b_1}\right)$ et de la correction.

pour $\left(\frac{b}{b_1}\right) = 1,2$ sans correction longitudinale, on trouve $K_M = 0,98$

$$K_M = 0,98$$

- Y_β : Facteur d'inclinaison, dépend de l'angle d'inclinaison de l'hélice.

pour β approximativement égal à 20°
ou à $Y_\beta = 0,745$

- Y_F : facteur de forme: dépend de la correction, de l'angle de pression α et du nombre de dents.

pour α normalisé $\alpha = 20^\circ$ sans correction de denture $x = 0$ et pour $Z_1 = 17$
on trouve $Y_F = 2,86$

- Y_E : facteur de conduite

$Y_E = 1/E_\alpha$ où E_α = rapport de conduite apparent. Se détermine de la façon

suivante: (Méthode de M^r le recteur Payelle)

$Z_1 = 17$ } la paille est égale à .

$Z_2 = 47$ } $h_{a1} = \gamma_1 \cdot m$, $h_{a2} = \gamma_2 \cdot m$

pour des dentures normales $\gamma_1 = \gamma_2 = 1$.

on étudie le module.

$$\alpha = 20^\circ : Z_1 = N_1 = 17 \rightarrow U_1 = 0,91$$

$$Z_2 = N_2 = 47 \rightarrow U_2 = 0,46$$

$$\Rightarrow E_\alpha = \gamma_1 U_1 + \gamma_2 U_2 = 1 \cdot 0,91 + 1 \cdot 0,46 = 1,57$$

$$\text{donc } Y_E = \frac{1}{E_\alpha} = \frac{1}{1,57} \approx 0,6$$

donc:

$$m_1 \geq \sqrt[3]{\frac{2.511,9}{1,4^2 \cdot 2,2 \cdot 4 \cdot 10^8} \cdot \frac{2,86 \cdot 0,6 \cdot 0,775}{0,43 \cdot 0,8 \cdot 0,98 \cdot 0,67}}$$

soit $m_1 \geq 3,08 \cdot 10^{-3} [m]$ soit $m_1 \geq 3,08 [mm]$

on prend une valeur normalisée

$$m_n = 4 [mm]$$

$$m_1 = 4 [mm]$$

Deuxième étage au niveau de l'arbre intermédiaire.

$$m_2 \geq \sqrt[3]{\frac{2 M_n'}{Z_3^2 \left(\frac{b'}{d_3}\right) \sigma_{blim}} \cdot \frac{\gamma_E \cdot \gamma_F \cdot V_F}{k_A \cdot k_V \cdot k_M \cdot k_{bl}}}$$

où les facteurs ont la même signification

- $M_n' = 2242 [N \cdot m]$

- $Z_3 = 19 [cm]$

- $\left(\frac{b'}{d_3}\right) = 1$ valeur adoptée.

- $\sigma_{blim} = 2 \cdot 10^8 [N/m^2]$ valeur limite de base pour un acier de classe de rupture de 68 H30.

- $k_M = 0,99$ & $\left(\frac{b'}{d_3}\right) = 1$.

- $k_{bl} = 0,76$ si $N' = 214 [tr/min]$ et une longueur de 10 000 tours.

$$- \alpha = 0,8$$

- $\alpha = 0,83$ si on adopte une vis à tête périphérique plus petite (arbre intermédiaire plus petit qu'arbre d'entrée) avec la même classe de précision.

$$- Y_F = 2,8 \text{ pour } z = 19 \text{ dt, } \alpha = 20^\circ$$

$$- Y_\beta = 0,775$$

$$- Y_E = 1/E_\alpha \quad \text{où } E_\alpha = Y_1' U_1' + Y_2' U_2'$$

$$Y_1' = Y_2' = 1 \text{ (denture normale)}$$

$$z_3 = 19 \Rightarrow U_1' = 0,77$$

$$z_4 = 75 \Rightarrow U_2' = 0,92 \quad \left. \vphantom{z_4 = 75} \right\} E_\alpha = 0,77 + 0,92$$

$$E_\alpha = 1,69 \Rightarrow Y_E = 0,592$$

$$\approx 0,6$$

donc :

$$m_2 \geq \sqrt[3]{\frac{2.2272}{19^2 \cdot 1 \cdot 2 \cdot 10^8} \cdot \frac{0,6 \cdot 0,775 \cdot 2,8}{0,8 \cdot 0,83 \cdot 0,99 \cdot 0,76}}$$

$$\text{soit } m_2 \geq 5,47 \cdot 10^3 [\mu\text{m}] \text{ ou } m_2 \geq 5,47 [\text{mm}]$$

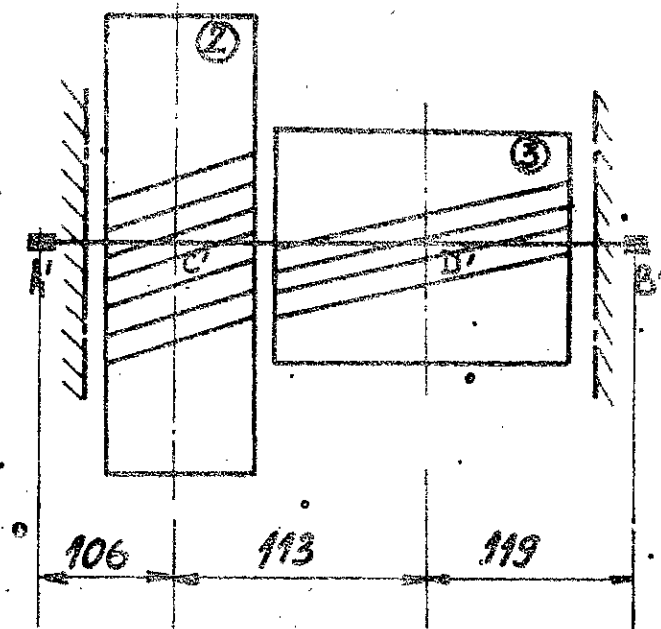
ou choisir le module normalisé

$$m_2 = 6 [\text{mm}]$$

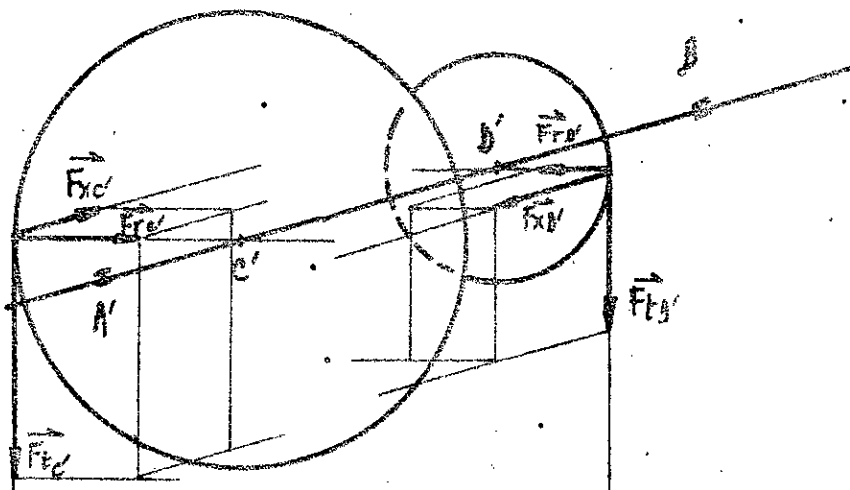
$$U_2 = 6 [\text{mm}]$$

Calcul de l'arbre intermédiaire :

le schéma cinématique sera comme suit.



distribution des forces.



Détermination des efforts:

l'effort tangentiel:

$$F_t = \frac{2M_n \text{ ou } M_u}{d_f} \text{ où } M_n \text{ ou } M_u : \text{ couple}$$

d_f : diamètre primitif.

Effort axial:

$$F_x = F_t \cdot \tan \beta$$

Effort radial:

$$F_r = \frac{F_t}{\cos \beta} \cdot \tan \alpha_n$$

Pour la roue 2:

$$d_p = \frac{m_z z_2}{\cos \beta} = \frac{4 \cdot 47}{\cos 20^\circ} \quad 328 \text{ (mm)}$$

$$d_p = 328 \text{ (mm)}$$

$M_2' = 2242 \text{ (N.m)}$

$$F_{t2}' = \frac{2 M_2'}{d_p} = \frac{2 \cdot 2242}{328} \text{ (kN)} \quad 13,85 \text{ (kN)}$$

$$F_{t2}' = 13,85 \text{ (kN)}$$

$$F_{r2}' = \frac{F_{t2}'}{\cos \beta} \cdot \tan \alpha_n = \frac{13,85}{\cos 20^\circ} \cdot \tan 20^\circ = 5,35 \text{ (kN)}$$

$$F_{r2}' = 5,35 \text{ (kN)}$$

$$F_{x2}' = F_{t2}' \cdot \tan \beta = 13,85 \cdot \tan 20^\circ \quad 5,03 \text{ (kN)}$$

$$F_{x2}' = 5,03 \text{ (kN)}$$

Pour la roue 3:

$$d_p = \frac{m_z z_3}{\cos \beta} = \frac{6 \cdot 19}{\cos 20^\circ} = 122 \text{ (mm)}$$

$$d_p = 122 \text{ (mm)}$$

$$F_{t3}' = \frac{2 M_3'}{d_p} = \frac{2 \cdot 2242}{122} \text{ (kN)} \quad 37,25 \text{ (kN)}$$

$$F_{t3}' = 37,25 \text{ (kN)}$$

$$F_{r3}' = \frac{F_{t3}'}{\cos \beta} \cdot \tan \alpha_n = \frac{37,25}{\cos 20^\circ} \cdot \tan 20^\circ = 14,38 \text{ (kN)}$$

$$F_{r3}' = 14,38 \text{ (kN)}$$

$$F_{x3}' = F_{t3}' \cdot \tan \beta = 37,25 \cdot \tan 20^\circ \quad 13,52 \text{ (kN)}$$

$$F_{x3}' = 13,52 \text{ (kN)}$$

Calcul du moment de torsion:

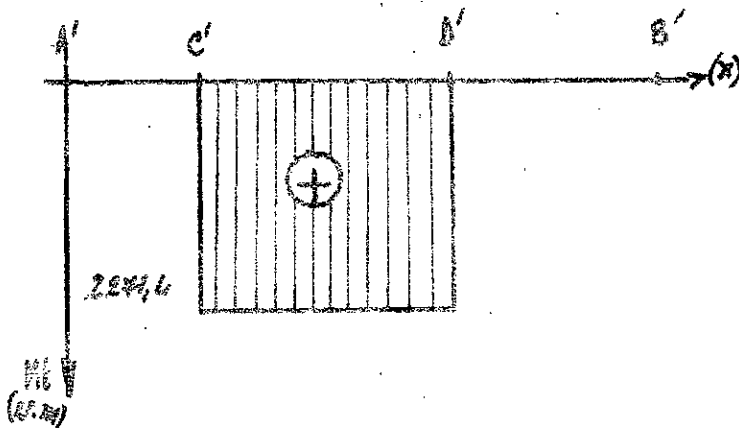
il n'existe qu'entre C et L et il est constant.

$$M_t = F_{t_c} \cdot \frac{d_p^2}{2} = F_{t_o} \cdot \frac{d_p^2}{2} \text{ soit}$$

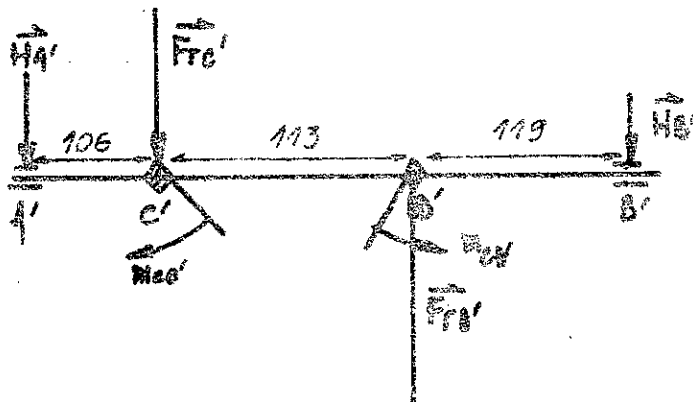
$$m_t = 13,85 \cdot \frac{328}{2} = 2271,4 \text{ [N.m]}$$

$$m_t = 2271,4 \text{ [N.m]}$$

L'épure de moment de torsion est la suivante:



Suivant le plan Horizontal:



$M_{c_c'}$ et $M_{d_o'}$ sont des moments concentriques dus aux forces axiales.

Déterminons $H_{A'}$ et $H_{B'}$.

$$(\sum M_{A'}) = 0 \text{ joules}$$

$$m_{c_c'} + F_{rc}' \cdot \overline{A'C'} - M_{c_o'} - F_{ro}' \cdot \overline{A'D'} = H_{B'} \cdot \overline{A'B'}$$

$$M_{c_c'} = F_{rc}' \cdot \frac{d_p^2}{2} = 5,03 \cdot \frac{328}{2} = 825 \text{ [N.m]}$$

$$M_{c_c'} = 825 \text{ [N.m]}$$

$$M_{d_o'} = F_{ro}' \cdot \frac{d_p^2}{2} = 13,52 \cdot \frac{122}{2} = 825 \text{ [N.m]}$$

$$M_{d_o'} = 825 \text{ [N.m]}$$

$$\text{donc } H_B' = \frac{M_{sc}' + Fr_C' \cdot \overline{A'C'} - M_{sc} - Fr_D' \cdot \overline{A'D'}}{\overline{A'B'}}$$

$$-H_B' = \frac{825 + 5,35 \cdot 106 - 825 - 14,38(106 + 113)}{(906 + 113 + 119)}$$

et on fixe $H_B' = 7,64 \text{ [kN]}$

$H_B' = 7,64 \text{ [kN]}$

pour H_A' : l'équilibre de forces nous donne:

$$H_A' = Fr_D' - H_B' - Fr_C' = 14,38 - 7,64 - 5,35 \text{ [kN]}$$

$$H_A' = 1,39 \text{ [kN]}$$

$H_A' = 1,39 \text{ [kN]}$

Diagramme de moments fléchissants:

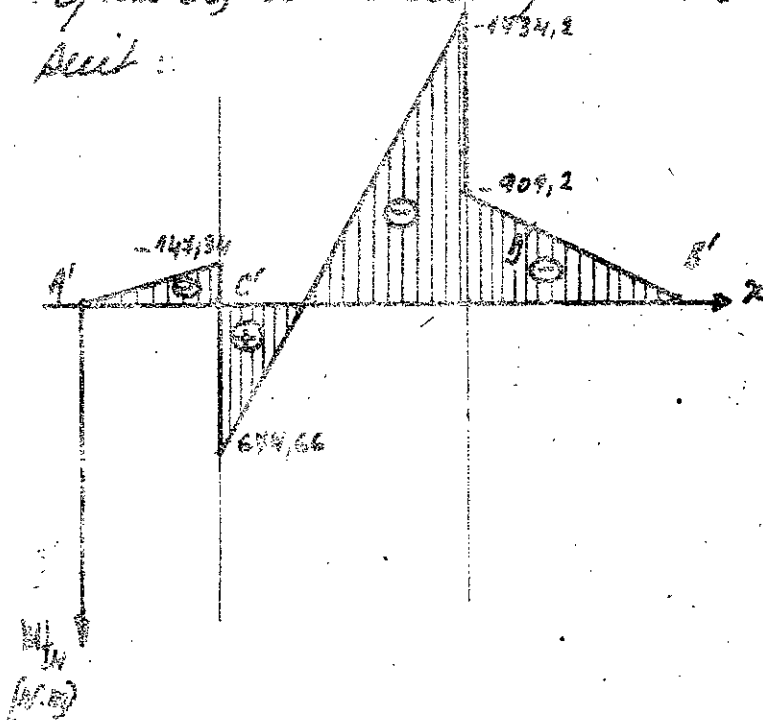
$$M_{sc}' = -H_A' \cdot \overline{A'C'} = -1,39 \cdot 106 = -147,34 \text{ [N.m]}$$

$M_{sc}' = -147,34 \text{ [N.m]}$

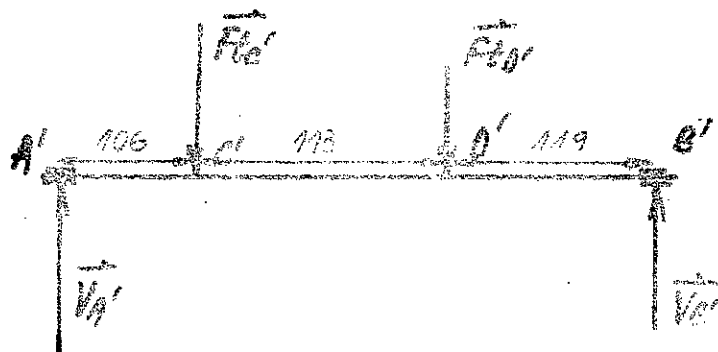
$$M_{sc} = -H_B' \cdot \overline{B'D'} = -7,64 \cdot 119 = -909,2 \text{ [N.m]}$$

$M_{sc} = -909,2 \text{ [N.m]}$

l'épure de moments fléchissants sera comme ceci:



Suivant le plan vertical:



$$F_{1c} = 13,85 \text{ (kN)}$$

$$F_{2c} = 34,25 \text{ (kN)}$$

Déterminons V_A' et V_B'

$(\sum M)_{A'} = 0$ nous donne:

$$V_B' \cdot \overline{A'B'} = F_{2c}' (\overline{A'e'} + \overline{e'o'}) + F_{1c}' \overline{A'e'}$$

$$\text{Soit } V_B' = \frac{F_{1c}' \overline{A'e'} + F_{2c}' (\overline{A'e'} + \overline{e'o'})}{\overline{A'B'}}$$

$$V_B' = \frac{13,85 \cdot 106 + 34,25 (106 + 113)}{106 + 113 + 119} \text{ (kN)}$$

$$V_B' = 28,46 \text{ (kN)}$$

L'équilibre des forces nous donne:

$$V_A' = F_{1c}' + F_{2c}' - V_B' = 13,85 + 34,25 - 28,5$$

$$\text{soit } V_A' = 22,62 \text{ (kN)}$$

Diagramme des moments fléchissants:

$$M_{Vc'} = V_A' \cdot \overline{A'e'} = 22,62 \cdot 106 = 2400 \text{ (N.m)}$$

$$M_{Vc'} = V_B' \cdot \overline{o'B'} = 28,5 \cdot 119 = 3390 \text{ (N.m)}$$

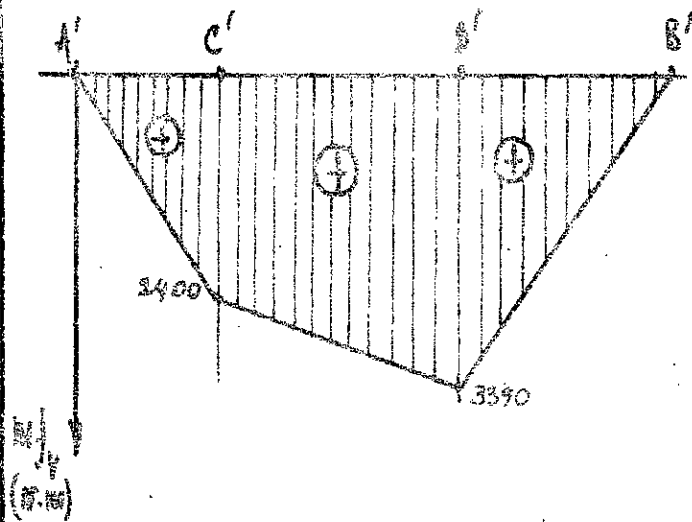
L'épure des moments fléchissants sera:

$$V_B = 28,46 \text{ (kN)}$$

$$V_A = 22,62 \text{ (kN)}$$

$$M_{Vc'} = 2400 \text{ (N.m)}$$

$$M_{Vc'} = 3390 \text{ (N.m)}$$



Calcul de moments idéaux:

$$W_{ie'} = \sqrt{W_{f_{c'4}}^2 + m_{f_{vc'}}^2 + 0,43 \cdot M_t^2} \quad \begin{array}{l} W_{f_{vc'}} = 2400 \text{ [N.m]} \\ W_{f_{c'4}} = 825 \text{ [N.m]} \\ M_t = 2271,6 \text{ [N.m]} \end{array}$$

$$\text{soit } W_{ie'} = \sqrt{825^2 + 2400^2 + 0,43 \cdot 2271,6^2}$$

soit $W_{ie'} = 2942,6 \text{ [N.m]}$

$$W_{ie'} = 2942,6 \text{ [N.m]}$$

$$W_{io'} = \sqrt{W_{f_{d'4}}^2 + W_{f_{vD'}}^2 + 0,43 M_t^2} \quad \begin{array}{l} W_{f_{d'4}} = 825 \text{ [N.m]} \\ W_{f_{vD'}} = 3390 \text{ [N.m]} \end{array}$$

$$W_{io'} = \sqrt{825^2 + 3390^2 + 0,43 \cdot 2271,6^2}$$

soit $W_{io'} = 3793,6 \text{ [N.m]}$

$$W_{io'} = 3793,6 \text{ [N.m]}$$

C'est le plus sollicité donc

$$d' \geq \sqrt[3]{\frac{10 W_{io'}}{[\sigma]}} \quad \text{pour de l'acier Xc48.}$$

$[\sigma] = 9000 \text{ N/cm}^2$

$$\Rightarrow d' \geq \sqrt[3]{\frac{10 \cdot 3793,6 \cdot 10^2}{9000}} \text{ [cm]}$$

et enfin $d' \geq 4,5 \text{ [cm]}$

$$d' \geq 4,5 \text{ [cm]}$$

CHAPITRE 3

Mécanisme

de

direction

Données préliminaires:

Charge utile : $Q_u = 80 \text{ [kN]}$

Vitesse de direction : $V_d = 30 \text{ [m/min]}$

Facteur de marche : $F_d M = 25\%$

régime de travail III (lourd)

Calculs préliminaires:

21) Calcul et choix des galets:

$$D_g = \frac{P_{\max} / n}{k(b - 2r)} \quad \text{ou}$$

- D_g : diamètre du galet.

- P_{\max} : charge totale du véhicule
et de la benne.

$$P_{\max} = Q_u + G_c$$

G_c = poids du chariot. On adoptera
une valeur de 160 [kN] .

$$\text{Donc } P_{\max} = 160 + 80 = 240 \text{ [kN]}$$

- n : le nombre de galets, pour nous : $n = 4$

- k : facteur qui dépend du matériau
du rail et du galet. On choisit
un galet en acier et un rail en
acier. $k = 50 \text{ [daN/cm}^2\text{]}$

on supposera que la charge est répartie uniformé-
ment sur les quatre galets.

$$G_c = 160 \text{ [kN]}$$

$$Q_u = 80 \text{ [kN]}$$

$$P_{\max} = 240 \text{ [kN]}$$

$$n = 4$$

$$k = 50 \text{ [daN/cm}^2\text{]}$$

(b-2c): longueur effective du rail.

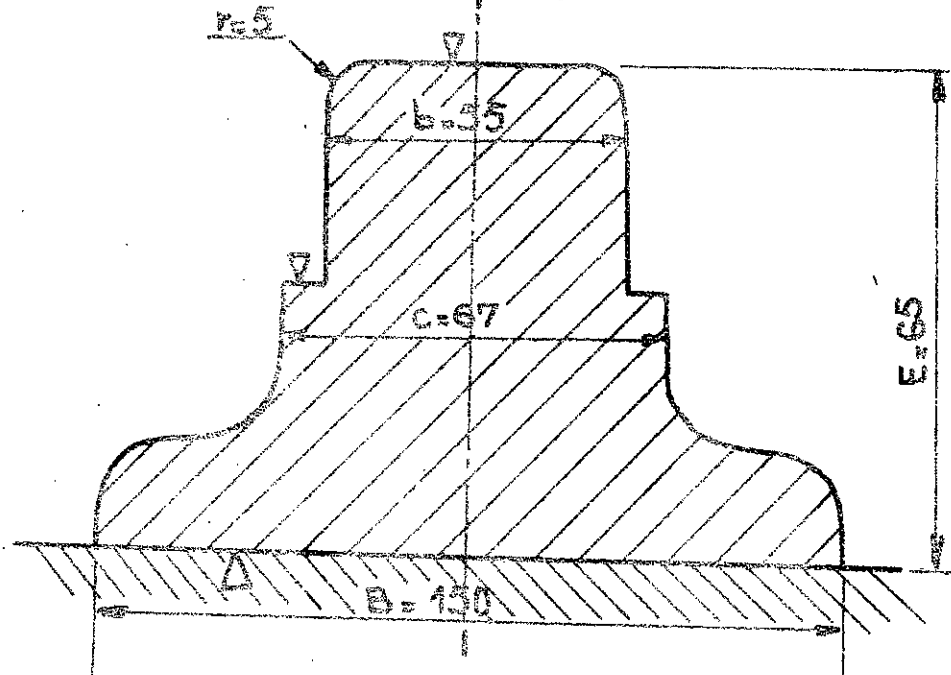
b = largeur totale du rail.

r = rayon de l'arrondi.

Choix du rail:

Suivant la norme de la FEM, on choisit un acier de type infatigable de 70 kg/mm^2

Type B2 allié avec (Ni, Cr, Mo).



masse linéaire: usure : 41 [kg]

brute : 54 [kg]

Donc $Dg = \frac{240 \cdot 10^3}{4 \cdot 500 \cdot (5,5 - 2 \cdot 0,5)} \text{ [cm]} .$

$Dg = 26,7 \text{ [cm]} .$

De la norme EN 67/33242 on choisit un galet N° 22315 qui a un diamètre

normalité $Dg = 315 \text{ [mm]}$

$Dg = 315 \text{ [mm]}$

Il sera monté sur roulements à rouleaux dont le diamètre d_i de la bague intérieure est de 75 [mm]

2.2) Calcul de la résistance au mouvement:

$$R = R_r + R_v \quad \text{ou}$$

R : résistance totale au mouvement.

R_r : résistance au roulement

R_v : résistance au vent.

2.2.1) Détermination de R_r :

$$R_r = (1 + \Psi) P_{\max} \frac{\mu d_i + 2f}{D_g} \quad \text{ou}$$

$$P_{\max} = 240 \text{ [kN]}$$

μ : coefficient de frottement sur les rouleaux

$$\mu = 0,015$$

$$d_i = 75 \text{ [mm]}$$

f : coefficient de frottement galet rail exprimé en [cm]. $f = 0,05 \text{ [cm]}$

Ψ : coefficient de correction qui tient compte des frottements du boudin. On adopte $\Psi = 1,5$

$$\text{d'où: } R_r = (1 + 1,5) 240 \frac{0,015 \cdot 75 + 2 \cdot 0,05 \cdot 10^{-1}}{315}$$

$$R_r = 4,05 \text{ [kN]}$$

$$R_r = 4,05 \text{ [kN]}$$

2.2.2) Détermination de R_v :

$$R_v = A \cdot p \cdot K \quad \text{ou}$$

- A: Surface exposée au vent.

$$A = (A_c + A_B) k' \quad \text{où}$$

A_c : Surface du chariot exposée au vent.

Considérons des dimensions approximatives du chariot.

$A_c = 2,1 [m^2]$

$$A_c = 2100 \times 1000 = 2,1 \cdot 10^6 [mm^2]$$

$A_B = 6,96 [m^2]$

$$A_B = 2260 \times 3080 = 6,96 \cdot 10^6 [mm^2]$$

k' : facteur de remplissage, on adopte la valeur

$k' = 0,8$

$$k' = 0,8$$

$$\text{donc } A = (2,1 + 6,96) 0,8 = 7,25 m^2$$

$A = 7,25 [m^2]$

- p_0 : pression du vent. Comme on a mentionné au début du sujet, le chariot travaille en plein air, on suppose que le vent souffle horizontalement avec une vitesse de $22 [m/s]$

$p_0 = 0,15 [kN/m^2]$

donc pour un mécanisme: $p_v = 15 daN/m^2$

- k : coefficient aérodynamique, pour notre

$k = 1,2$

cas, $k = 1,2$

donc:

$$R_v = 7,25 \cdot 0,15 \cdot 1,2 = 1,31 [kN]$$

$R_v = 1,31 [kN]$

et enfin:

$$R = 4,05 + 1,31 = 5,36 [kN]$$

$R = 5,36 [kN]$

2.3) Choix du moteur électrique:

La puissance statique du moteur sera définie par la relation:

$$P'_s = \frac{R \cdot V_d}{\eta'} \quad \text{où}$$

η' : rendement global du mécanisme de direction.

$$\eta' = \eta'_a \cdot \eta'_r$$

$$\eta'_a = (0,98)^2 = 0,96 \text{ rendement des accouplements}$$

$$\eta'_r = 0,96 \text{ rendement du réducteur}$$

$$R = 5,36 \text{ [kN]}$$

$$V_d = 30 \text{ [m/min]} \text{ soit } 0,5 \text{ [m/s]}$$

donc

$$P'_s = \frac{5,36 \cdot 0,5}{0,96 \cdot 0,96} = 2,97 \text{ [kW]}$$

Notre choix portera sur un moteur GOST, type 112-G qui possède les caractéristiques suivantes:

$$P'_e = \text{puissance nominale de } 3,5 \text{ [kW]}$$

$$N'_e = \text{vitesse de rotation nominale de } 905 \text{ [tr/min]}$$

$$I'_r = \text{moment d'inertie de rotation de } 0,05 \text{ [kg.m}^2\text{]}$$

$$m = \text{une masse de } 76 \text{ [kg]}$$

C'est un moteur à rotor bobiné.

231) Moment nominal du moteur:

$$M_{nom} = \frac{30 P'_e}{\pi N'_e} = \frac{30 \cdot 3,5 \cdot 10^3}{\pi \cdot 905} = 36,9 \text{ [N.m]}$$

232) Moment maximum:

pour le moteur choisi on a:

$$\frac{M_{max}}{M_{nom}} = 2,5 \text{ ce qui fait } M_{max} = 2,5 M_{nom}$$

$$\Rightarrow M_{max} = 2,5 \cdot 36,9 = 92,33 \text{ [N.m]}$$

$$P'_s = 2,97 \text{ [kW]}$$

$$P'_e = 3,5 \text{ [kW]}$$

$$N'_e = 905 \text{ [tr/min]}$$

$$I'_r = 0,05 \text{ [kg.m}^2\text{]}$$

$$m = 76 \text{ [kg]}$$

$$M_{nom} = 36,9 \text{ [N.m]}$$

$$M_{max} = 92,33 \text{ [N.m]}$$

Vitesse de synchronisme : $V_s = 1000 \text{ (tr/min)}$

2.4) Choix du réducteur :

D'après le schéma simplifié, le réducteur qui sera choisi, sera vertical.

2.4.1) Calcul du rapport de réduction :

$$i_m = \frac{N_c'}{N_g} \quad \text{où}$$

$$- N_c' = [905 \text{ tr/min}]$$

- N_g : vitesse de rotation du galet.

$$- N_g = \frac{V_g}{\pi D_g} ; \quad V_g : \text{vitesse périphérique du galet.}$$

$$V_g = V_d = 30 \text{ (m/min)}$$

$$D_g = 315 \cdot 10^{-3} \text{ (m)}$$

Donc :

$$i_m = \frac{905}{30 / \pi \cdot 315 \cdot 10^{-3}} = 29,85$$

$$i_m = 29,85$$

Le choix du réducteur portera sur un type BKH 480 qui possède les caractéristiques suivantes :

P_{ad}' : puissance admissible de 13,53 [kW]

$$P_{ad}' = 13,53 \text{ (kW)}$$

N_{ad}' : vitesse de rotation admissible de 1000 (tr/min)

$$N_{ad}' = 1000 \text{ (tr/min)}$$

i_{rc}' : rapport de réduction de 31,5

$$i_{rc}' = 31,5$$

m : une masse de 140 [kg]

$$m = 140 \text{ (kg)}$$

2.4.2) Vérification du rapport de réduction:

Tout d'abord, il faut calculer δ_i

$$\text{où } \delta_i = \left| \frac{i'_m - i'_{rc}}{i'_m} \right| \cdot 100$$

$$i'_m = 29,85$$

$$i'_m = 29,85$$

$$i'_{rc} = 31,5$$

$$i'_{rc} = 31,5$$

$$\text{donc } \delta_i = \left| \frac{29,85 - 31,5}{29,85} \right| \cdot 100 = 5,53\%$$

$$\delta_i = 5,53\%$$

$\delta_i < 10\%$ (valeur tolérée), donc le réducteur est bon.

2.4.3) vitesse de sortie du réducteur:

$$N_2 = \frac{N'_c}{i'_{rc}} \quad \text{où}$$

N_2 : vitesse de sortie du réducteur

$$N'_c = 905 \text{ [tr/min]}$$

$$N'_c = 905 \text{ [tr/min]}$$

$$i'_{rc} = 31,5$$

$$i'_{rc} = 31,5$$

$$\text{donc } N_2 = \frac{905}{31,5} = 28,7 \text{ [tr/min]}$$

$$N_2 = 28,7 \text{ [tr/min]}$$

2.5) Choix des accouplements:

2.5.1) liaison moteur-réducteur:

Accouplement élastique tel que le moment maximum sera donné par:

$$M_{ac} \gg K_1 \cdot K_2 \cdot K_3 \cdot M_{nom} \quad \text{où}$$

$$M_{nom} = 36,9 \text{ [N.m]}$$

$$M_{nom} = 36,9 \text{ [N.m]}$$

K_1 : facteur qui dépend du type de moteur et du régime de travail.

pour un moteur électrique et pour le régime III
de travail : $k_1 = 2,0$

- k_2 : facteur qui dépend du temps de
travail par 24 heures et du régime de
travail.

pour une charge relative $> 75\%$ et un nombre
de cycles de travail par heure $< 30\%$, on
prend $k_2 = 1,12$

- k_3 : facteur qui dépend du nombre de
cycles de travail par heure et du régime
de fonctionnement.

pour un nombre de cycles par heure $< 30\%$
et le régime lourd (III) de travail,

$k_3 = 1,12$

Donc.

$$M_{ac} \geq 2,0 \cdot 1,12 \cdot 1,12 \cdot 36,9 = 92,65 \text{ [N.m]}$$

$$M_{ac} \geq 92,65 \text{ [N.m]}$$

Notre choix portera sur un accouplement
élastique de la Norme NM 72/32340 N° 093ATp
qui possède les caractéristiques suivantes :

M_{ac} : Moment d'accouplement de 224 [N.m]

N_{ac} : Vitesse maximum de 3000 [tr/min]

$I_{rac} = 0,045 \text{ [kg.m}^2\text{]}$, moment d'inertie de rotation

avec une masse de $11,7/13,6 \text{ [kg]}$

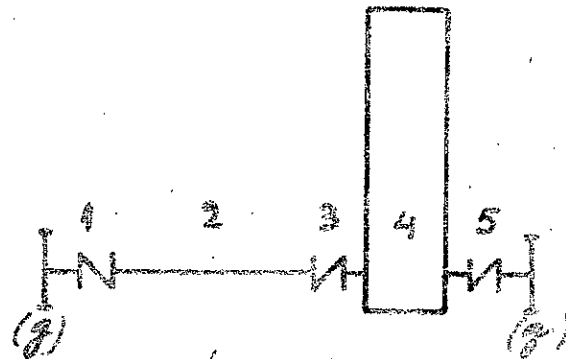
$$M_{ac} = 224 \text{ [N.m]}$$

$$N_{ac} = 3000 \text{ [tr/min]}$$

$$I_{rac} = 0,045 \text{ [kg.m}^2\text{]}$$

$$m = \frac{11,7}{13,6} \text{ [kg]}$$

25.2) liaison réducteur-galet:



- 1: demi-manchon à engrenage simple.
- 2: arbre de transmission
- 3: identique à 1
- 4: réducteur de vitesse
- 5: demi-manchon à double engrenage
- (g): galet moteur.

25.2.1) Choix des demi-manchons à engrenage simple:

$$M_{act(2)} \cdot \gamma \cdot K_1 \cdot K_2 \cdot K_3 \cdot M_{ns} \quad \text{ou}$$

- M_{ns} : moment nominal à la sortie du réducteur

$$M_{ns} = M_{nom} \cdot i'_{rc} \cdot \eta$$

$$M_{nom} = 36,9 \text{ [N.m]}$$

$$M_{nom} = 36,9 \text{ [N.m]}$$

$$i'_{rc} = 31,5$$

$$i'_{rc} = 31,5$$

$$\eta = 0,94$$

$$\eta = \eta_a \cdot \eta_r = 0,98 \cdot 0,96 = 0,94$$

$$M_g = 1092,6 \text{ [N.m]}$$

$$\text{d'où } M_{ns} = 36,9 \cdot 31,5 \cdot 0,94 = 1092,6 \text{ [N.m]}$$

K_1, K_2, K_3 sont les mêmes facteurs que précédemment mais qui ont d'autres valeurs.

ou trouve:

$K_1 = 1,8$
 $K_2 = 1,12$
 $K_3 = 1,08$

$K_1 = 1,8$
 $K_2 = 1,12$
 $K_3 = 1,08$
 et enfin

$$M_{ach,3} \gg 1,8 \cdot 1,12 \cdot 1,08 \cdot 1092,6 = 2384 [N.m]$$

$$M_{ach,3} = 2384 [N.m]$$

On choisira un demi-manchon de la norme NM 65/32357 N° 004 ASg de diamètre intérieur \varnothing (mm) qui présente les caractéristiques suivantes :

- $M_{ac}^{(1,8)}$: moment admissible d'accouplement.
- $N_{ac}^{(1,8)}$: vitesse de rotation admissible
- $I_{rac}^{(1,8)}$: Moment d'inertie de rotation
- m : une masse de $37,5 [kg]$

- $M_{ac} = 500 [N.m]$
- $N_{ac} = 3000 [tr/min]$
- $I_{rac} = 0,2 [kg.m^2]$
- $m = 37,6 [kg]$

2.5.2.2) Choix du demi-manchon à double engrenage :

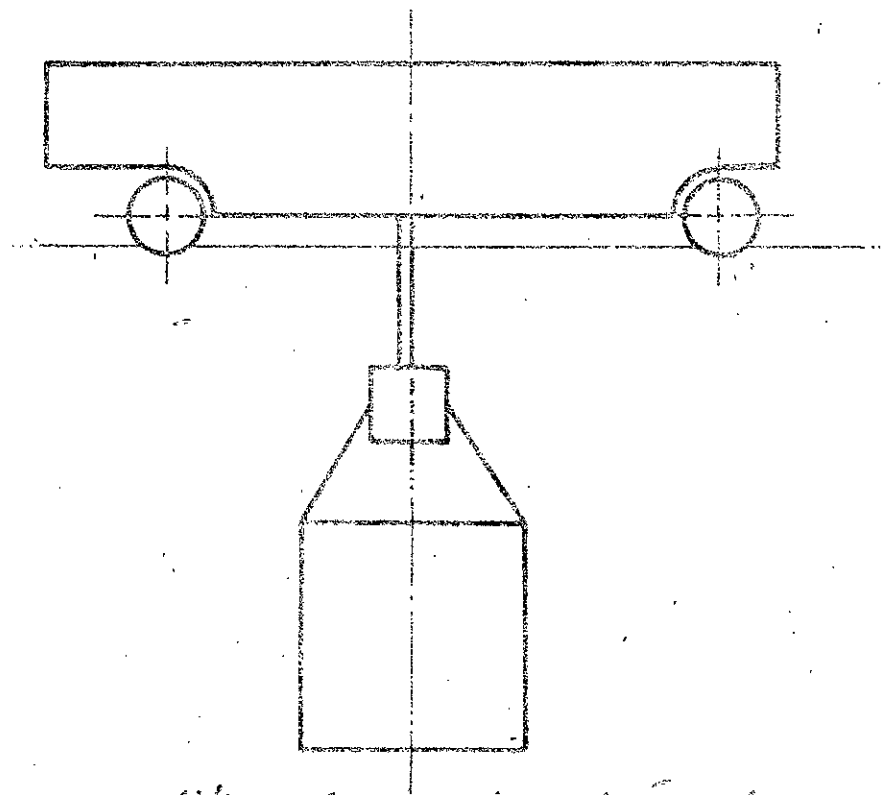
Ce demi-manchon sera calculé sur le même principe et il aura à peu près les mêmes caractéristiques que les précédents.

De la norme NM 65/32356 on choisira le demi-manchon N° 004 ASz qui possède les caractéristiques qui suivent :

- $M_{ac}^{(5)}$: moment admissible d'accouplement
- $N_{ac}^{(5)}$: vitesse de rotation admissible
- $I_{rac}^{(5)}$: Moment d'inertie de rotation
- une masse m de $37,7 kg$

- $M_{ac} = 500 [N.m]$
- $N_{ac} = 3000 [tr/min]$
- $I_{rac} = 0,2185 [kg.m^2]$
- $m = 37,7 [kg]$

3) Vérification dynamique du mécanisme de déplacement:



Deux conditions peuvent se présenter :

- le chariot est chargé (balancement)
 - le chariot est déchargé. (Patinage)
- pour ces deux cas, il faut vérifier le démarrage et le freinage.

3.1) Démarrage du chariot chargé, (autre le fait:

la vérification se fait à la base de la formule suivante :

$$M_d = M_s + M_{dyn} \quad \text{ou}$$

- M_d : moment de démarrage.

- M_s : moment statique ramené à l'arbre du moteur

- M_{dyn} : moment dynamique.

$$M_d = \frac{M_{dmax} + M_{dmin}}{2} \quad \text{où}$$

M_{dmax} : moment maximum des moteurs

$$M_{dmax} = 92,3 \text{ [N.m]}$$

M_{dmin} : moment de démarrage minimum

$$M_{dmin} = 1,2 M_{nom} = 1,2 \cdot 36,9 = 44,3 \text{ [N.m]}$$

donc

$$M_d = \frac{92,3 + 44,3}{2} = 68,3 \text{ [N.m]}$$

$$M_s = \frac{R(D_g/2)}{i'c \cdot \eta} \quad \text{où}$$

$$R = 5,36 \text{ [kN]}$$

$$D_g = 0,315 \text{ [m]}$$

$$i'c = 39,5$$

$$\eta: \text{rendement global} \quad \eta = 0,88$$

donc

$$M_s = \frac{5,36 (0,315/2) \cdot 10^3}{39,5 \cdot 0,88} = 33,3 \text{ [N.m]}$$

$$M_{dyn} = I_r \cdot \frac{\omega}{t_d} \quad \text{où}$$

I_r : moment d'inertie en rotation réduit à l'axe du moteur.

ω : vitesse angulaire de l'axe du moteur.

t_d : temps de démarrage.

$$I_r = \Delta (I_r' + I_a) + m \frac{V_d^2}{\omega^2 \eta} \quad \text{où}$$

I_r : moment d'inertie de rotation du roulement

motors choisis. $I_r = 0,05 [kg.m^2]$

$$I_r = 0,05 [kg.m^2]$$

$$I_a = 0,045 [kg.m^2]$$

$$I_a = 0,045 [kg.m^2]$$

$$m = 24 \cdot 10^3 [kg]$$

$$m = \frac{P_{max}}{g} = \frac{240 \cdot 10^3}{10} = 24 \cdot 10^3 [kg]$$

$$V_d = 0,5 [m/s]$$

$$V_d = 0,5 [m/s]$$

$$\omega = 94,7 [s^{-1}]$$

$$\omega = \frac{\pi N_c}{30} = \pi \cdot \frac{905}{30} = 94,7 [s^{-1}]$$

$$\eta = 0,88$$

$$\eta = 0,88$$

$$\Delta = 1,1$$

$$\Delta = 1,1$$

Donc :

$$I_r = 0,864 [kg.m^2]$$

$$I_r = 1,1(0,05 + 0,045) + \frac{24 \cdot 10^3 (0,5)^2}{(94,7)^2 \cdot 0,88} = 0,864 [kg.m^2]$$

Maintenant il s'agit de calculer l'accélération a_d à partir de la formule de base.

$$a_d = \frac{M_d - M_s}{I_r \cdot \omega} \cdot V_d \text{ en remplaçant chaque}$$

terme par sa valeur ou trouvée :

$$a_d = \frac{68,3 - 33,3}{0,864 \cdot 94,7} \cdot 0,5 = 0,214 [m/s^2]$$

$$a_d = 0,214 [m/s^2]$$

Calcul du temps de démarrage: t_d :

Valeurs recommandées pour ce type de chariots:

$$t_d = (2 \div 5) [s]$$

$$v_d = a_d \cdot t_d \Rightarrow t_d = \frac{v_d}{a_d} = \frac{0,5}{0,214} = 2,34 [s]$$

$$t_d = 2,34 [s]$$

Où fixe $[a] = 0,3 [\mu/\rho^2]$ dans ce cas $a < [a]$
donc on n'a pas de problème pour le
démarriage du chariot chargé!

3.2) freinage du chariot chargé:

Pour la détermination du couple de
freinage minimum, on suppose que ce
dernier se fait dans le sens du vent et
que la résistance au mouvement est
minimum c'est à dire que $\gamma = 0$.

en supposant également la longueur
parcours pendant le freinage égale à
 $1 [m]$, calculons le temps de freinage

$$s = \frac{1}{2} a t^2 \quad \text{mais } v_f = at$$

$1 [m]$

$0,5 [\mu/\rho^2]$

où s = longueur parcourue jusqu'au
freinage absolu.

$$\text{donc } s = \frac{v_f t}{2} \Rightarrow t_f = \frac{2s}{v_f} = \frac{2 \cdot 1}{0,5} = 4 [s]$$

et enfin

$$a = \frac{v_f}{t} = \frac{0,5}{4} = 0,125 [\mu/\rho^2]$$

$$t_f = 4 s.$$

$$a = 0,125 [\mu/\rho^2]$$

La résistance au mouvement sera donc:

$$R' = R_0 - R_v \quad \text{où } R_r: \text{résistance au} \\ \text{roulement. ; } R_v: \text{résistance au vent}$$

comptée négativement car elle sera
considérée comme une force motrice.

Détermination de R_r :

$$R_r' = (1 + \psi)(G_c + Q_u) \frac{\mu d_i + 2f}{D_g} \quad \text{ou}$$

$\psi = 0$ (résistance minimum)

- $\psi = 0$
- $\Sigma G + Q = 240 \text{ (kN)}$
- $\mu = 0,015$
- $d_i = 75 \text{ (mm)}$
- $f = 0,05 \text{ (cm)}$
- $D_g = 315 \text{ (mm)}$

donc $R_r' = 240 \frac{0,015 \cdot 75 + 2 \cdot 0,05}{315} = 1,62 \text{ (kN)}$

$R_r' = 1,62 \text{ (kN)}$

Détermination de R_u : Déjà calculé auparavant.

$R_u = 1,31 \text{ (kN)}$

donc $R' = 1,62 - 1,31 = 0,31 \text{ (kN)}$

$R' = 0,31 \text{ (kN)}$

le moment de freinage minimum sera donné par la formule suivante:

$$M_{f_{max}} = I_r' \cdot \frac{\omega \cdot \alpha}{V_d} - M_s \quad \text{ou}$$

$$I_r' = \Delta (I_m + I_a) + \frac{m \cdot V_d^2}{\omega^2} \eta'$$

- $\Delta = 1,1$
- $I_m = 0,05 \text{ (kg} \cdot \text{m}^2)$
- $I_a = 0,005 \text{ (kg} \cdot \text{m}^2)$
- $m = 24 \cdot 10^3 \text{ (kg)}$
- $V_d = 0,5 \text{ (m/s)}$
- $\omega = 94,7 \text{ (r} \cdot \text{s}^{-1})$
- $\eta' = 0,88$

donc $I_r' = 1,1 (0,05 + 0,005) + \frac{24 \cdot 10^3 \cdot (0,5)^2}{(94,7)^2} = 0,692 \text{ (kg} \cdot \text{m}^2)$

$I_r' = 0,692 \text{ (kg} \cdot \text{m}^2)$

$i_{rc} = 31,5$
 $R = 0,31 \text{ (kN)}$
 $D_g = 315 \text{ (mm)}$
 $\eta = 0,88$

$$M_f = \frac{K \cdot (D_g/2)}{i_{rc}} \eta' \quad \text{où}$$

$$\text{Donc } M_f = \frac{0,31 \cdot 10^3 \cdot (315 \cdot 10^{-3} / 2)}{31,5} \cdot 0,88 = 1,36 \text{ (N.m)}$$

et enfin

$$M_{f_{max}} = 0,692 \cdot \frac{94,7 \cdot 0,125}{0,5} - 1,36 = 15 \text{ (N.m)}$$

le choix du frein se fera à la base de ce moment maximum de freinage. Il portera sur un frein de la norme NM-68/32606 du Type ELHY-BL12 N° 013 4Hh et qui possède les caractéristiques suivantes :

$M_{f_{nom}}$: moment de freinage nominal de 105 (N.m)
 une masse de 36,4 (kg)

Remarque : on a choisi le plus petit frein du catalogue dont le moment est tout de même nettement supérieur au moment exigé. La réduction du moment de freinage s'effectuera par la régulation de la tension du ressort.

$$M_f = 1,36 \text{ (N.m)}$$

$$M_{f_{max}} = 15 \text{ (N.m)}$$

$$M_{f_{nom}} = 105 \text{ (N.m)}$$

$$m = 36,4 \text{ (kg)}$$

3.3) Vérification de non-patinage au démarrage

Le chariot étant déchargé, calculons l'accélération maximale admissible au démarrage et tout le vent:

$$a_{d,max} = \left\{ \frac{\sum G_m}{\sum G} \left[\mu g + (1 + \psi) \mu \frac{d_i}{D_g} \right] - \frac{R_r^0}{\sum G} \right\} \cdot g \quad \text{ou}$$

$\sum G_m$ = charge totale verticale agissant sur les galets moteurs

$\sum G$ = poids du chariot déchargé.

μg : coefficient de frottement galet-raie

R_r^0 : résistances au roulement du chariot déchargé:

$$R_r^0 = (G_c + G_B) (1 + \psi) \frac{\mu d_i + 2f}{D_g}$$

$$\psi = 1,5$$

$$G_c = 160 \text{ [kN]}$$

$$G_B = 35 \text{ [kN]}$$

$$\mu = 0,015$$

$$d_i = 75 \text{ [mm]}$$

$$f = 0,5 \text{ [mm]}$$

$$D_g = 315 \text{ [mm]}$$

$$\text{donc: } R_r^0 = (160 + 35) (1 + 1,5) \frac{0,015 \cdot 75 + 2 \cdot 0,5}{315}$$

$$R_r^0 = 3,3 \text{ [kN]}$$

$$R_r^0 = 3,3 \text{ [kN]}$$

en plein air $\mu g = 0,12$

$$\frac{\sum G_m}{\sum G} = 0,5 \quad , \quad \sum G = G_c + G_B = 195 \text{ [kN]}$$

donc

$$a_{d,max} = \left\{ 0,5 \left[0,12 + (1 + 1,5) 0,015 \frac{75}{315} \right] - \frac{3,3}{195} \right\} \cdot 9,81$$

le moment maximum de démarrage est donné par la formule suivante:

$$M_{\delta, \max} \leq M_s^0 + J_r^0 \cdot \frac{\omega [\alpha_{\delta, \max}]}{\delta}$$

$$V = 0,5 \text{ (m/s)}$$

$$\omega = 94,7 \text{ (s}^{-1}\text{)}$$

$$\alpha_{\delta, \max} = 0,47 \text{ (s}^{-2}\text{)}$$

$$D = 1,1$$

$$r_w = 0,05 \text{ (m)}$$

$$r_a = 0,045 \text{ (m)}$$

$$I_s^0 = 195 \cdot 10^3 \text{ (kg)}$$

$$\eta' = 0,88$$

$$J_r^0 = D (J_w + J_a) + \frac{m^0 \delta^2}{\omega^2} \cdot \frac{1}{\eta'}$$

$$\text{donc } J_r^0 = 1,1 (0,05 + 0,045) + \frac{195 \cdot 10^3 (0,5)^2}{(94,7)^2 \cdot 0,88}$$

$$\text{soit } J_r^0 = 0,42 \text{ [kg} \cdot \text{m}^2\text{]}$$

$$M_s^0 = \frac{R^0 \cdot (Dg/2)}{i'rc \cdot \eta'}$$

$$\text{où } R^0 = R_r^0 + R_v^0 = R_r^0 + R_v$$

$$R_r^0 = 3,3 \text{ [kN]}, R_v = 1,31 \text{ [kN]}$$

$$i'rc = 31,5$$

$$\eta' = 0,88$$

$$Dg = 315 \cdot 10^{-3} \text{ [m]}$$

$$\text{donc } M_s^0 = \frac{(3,3 + 1,31) 10^3 \cdot 315 \cdot 10^{-3}}{2 \cdot 31,5 \cdot 0,88} = 26,2 \text{ (N} \cdot \text{m)}$$

et enfin:

$$M_{\delta, \max} \leq 26,2 + 0,42 \cdot \frac{94,7 \cdot 0,47}{0,5} = 90,34 \text{ [N} \cdot \text{m)}$$

Pomme $M_{\delta, \max} = 92,33 \text{ (N} \cdot \text{m)}$ d'après le valeur choisi, il y aura un léger patinage au démarrage quand le chariot se trouve déchargé.

$$J_r^0 = 0,42 \text{ [kg} \cdot \text{m}^2\text{]}$$

$$M_s^0 = 26,2 \text{ [N} \cdot \text{m)}$$

3.4) Vérification de roue - Patinage au freinage à vide
 On suppose comme pour le N° 3.2, le freinage se fait dans le sens du vent pour une résistance au mouvement linéaire $(\psi=0)$
 l'accélération admissible aura pour valeur

$$a_{f, \max} = \left[\frac{\sum G_m}{\sum G} \left(\mu g + \frac{2f + \mu d_i}{D_g} \right) - \frac{R_v^0}{\sum G} \right] \cdot g$$

donnée pour le paragraphe 3.3)

$$\frac{\sum G_m}{\sum G} = 0,5 \quad , \quad \mu g = 0,12 \quad , \quad f = 0,5 [\text{mm}] \quad , \quad \mu = 0,015$$

$$d_i = 45 [\text{mm}] \quad , \quad D_g = 315 [\text{mm}] \quad , \quad R_v^0 = R_v = 1,31 [\text{kN}]$$

$$\sum G = 195 [\text{kN}] \quad , \quad g = 9,81 \text{ m/s}^2$$

donc

$$a_{f, \max} = \left[0,5 \left(0,12 + \frac{2 \cdot 0,5 + 0,015 \cdot 45}{315} \right) - \frac{1,31}{195} \right] \cdot 9,81 [\text{m/s}^2]$$

$$a_{f, \max} = 0,56 [\text{m/s}^2]$$

$$a_{f, \max} = 0,56 [\text{m/s}^2]$$

le moment de freinage maximum donné par la formule suivante :

$$M_{f, \max} \leq I_r^0 \frac{\omega \cdot a_{f, \max}}{\omega^2} - M_s^0$$

$$I_r^0 = D (I_m + I_a) + \frac{m^0 \cdot d_s^2}{\omega^2} \cdot \eta'$$

$$I_r^0 = 1,1 (0,05 + 0,045) + \frac{19,5 \cdot 10^3 \cdot (0,5)^2}{(94,7)^2} \cdot 0,988 = 0,58 [\text{kg} \cdot \text{m}^2] \quad I_r^0 = 0,58 [\text{kg} \cdot \text{m}^2]$$

$$M_s^0 = \frac{R_r^0 \cdot (D_g/2)}{i r_e} \cdot \eta' \quad ; \quad R_r^0 \text{ tel que } \psi = 0.$$

R_r^0 déjà calculé. $R_r^0 = 3,3 \text{ (kN)}$

$$\text{Donc } M_s^0 = \frac{3,3 \cdot 10^3 \cdot 0,815}{2 \cdot 81,5} \cdot 0,88 = 14,52 \text{ (N.m)}$$

$$M_s^0 = 14,52 \text{ (N.m)}$$

et enfin :

$$M_{fmax} \leq 0,58 \cdot \frac{94,7 \cdot 0,56}{0,5} - 14,52 = 47 \text{ (N.m)}$$

$$M_{fmax} = 47 \text{ (N.m)}$$

$M_{fmax} \leq 47 \text{ (N.m)}$ est une égalité vérifiée d'après le frein déjà choisi qui forme de ce moment de freinage maximum de 105 (N.m) donc il n'y a pas de risque de fatigue au freinage dans le sens du vent pour un instant au minimum minimum lorsque le chariot est d'arrêt.

Conclusion

Un tel chariot nécessite une étude beaucoup plus approfondie. Le domaine le plus intéressant n'a pas été développé dans ce polycopié et qui est l'étude électrique. Il serait souhaitable que des électriciens puissent reprendre ce travail et faire l'étude du circuit électrique, en quelque sorte le rapprocher de plus en plus de la réalité.

~ Bibliographie ~

1 — Hellmut ERNST — Les appareils de levage
GAUTHIER-VILLARS — Eyrolles —
Tomes I et II

2 — NORMY ZAKŁADOWE
WARSZAWA 1974
Tomes 3 et 4

3 — DŹWIGNICE
Tome I
A. Piatkiewicz et R. Sobolski

4 — Georges HENRIOT
Traité théorique et pratique des engrenages (1)
Dunod - Technique - BORDAS 1975.
~ 5^{ème} Edition ~

5 — Cours sur les Appareils de levage de:
Monsieur IVAN - professeur à l'ENPA.

~Table des matières~

Présentation du sujet

Chapitre 1

1	Introduction	2
2	Ponts roulants	2
3	Généralités sur les chariots	3
4	Diverses solutions de bennes préensées	3
4.1	Fonctionnement et description d'une benne préensée 4 cables	4
4.2	Schéma simplifié d'un treuil à benne 4 cables	7
4.3	Etude dynamique	8

Chapitre 2 (Mécanisme de levage)

1	Données préliminaires	11
2	Calculs préliminaires	11
2.1	Choix du cable	12
2.2	Calcul du Tambour	13
2.3	Choix des moteurs électriques	17
2.4	Choix du réducteur	18
2.5	Choix du frein	19
2.6	Choix de l'accouplement	21
3	Vérification de la résistance des éléments	23
3.1	Tambour	23
3.2	Réducteur	32

Chapitre 3 (Mécanisme de direction)

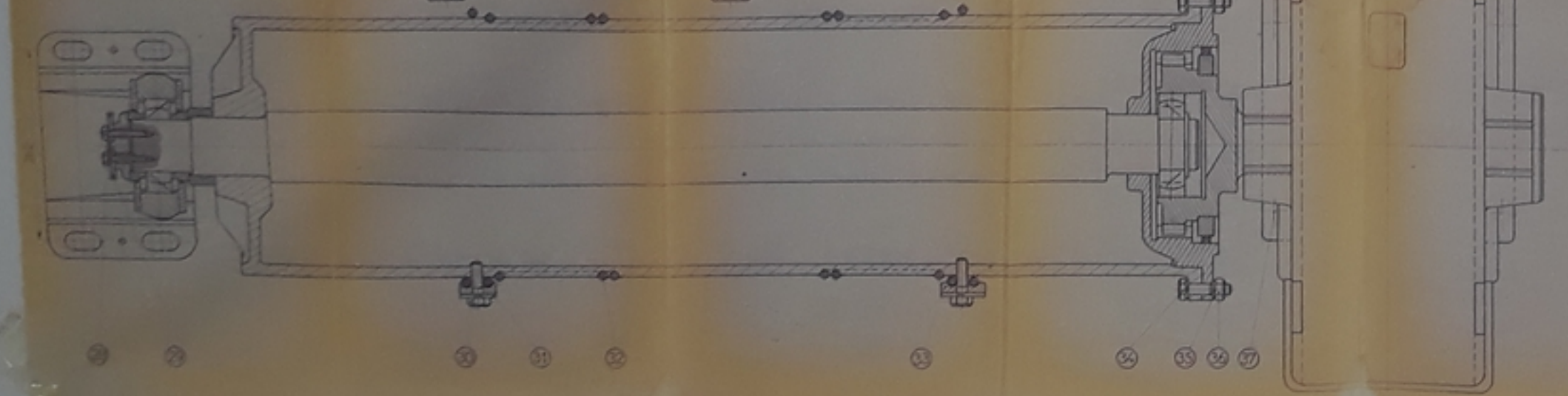
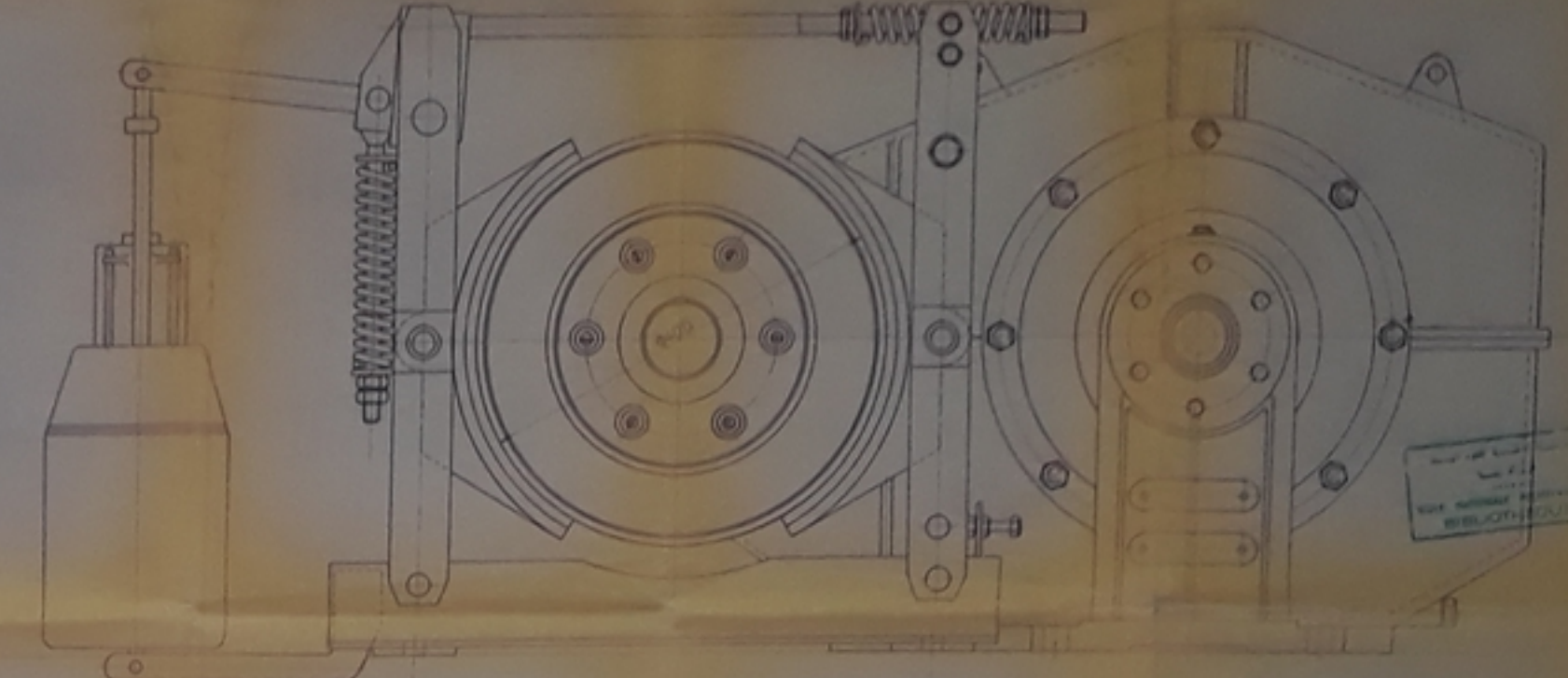
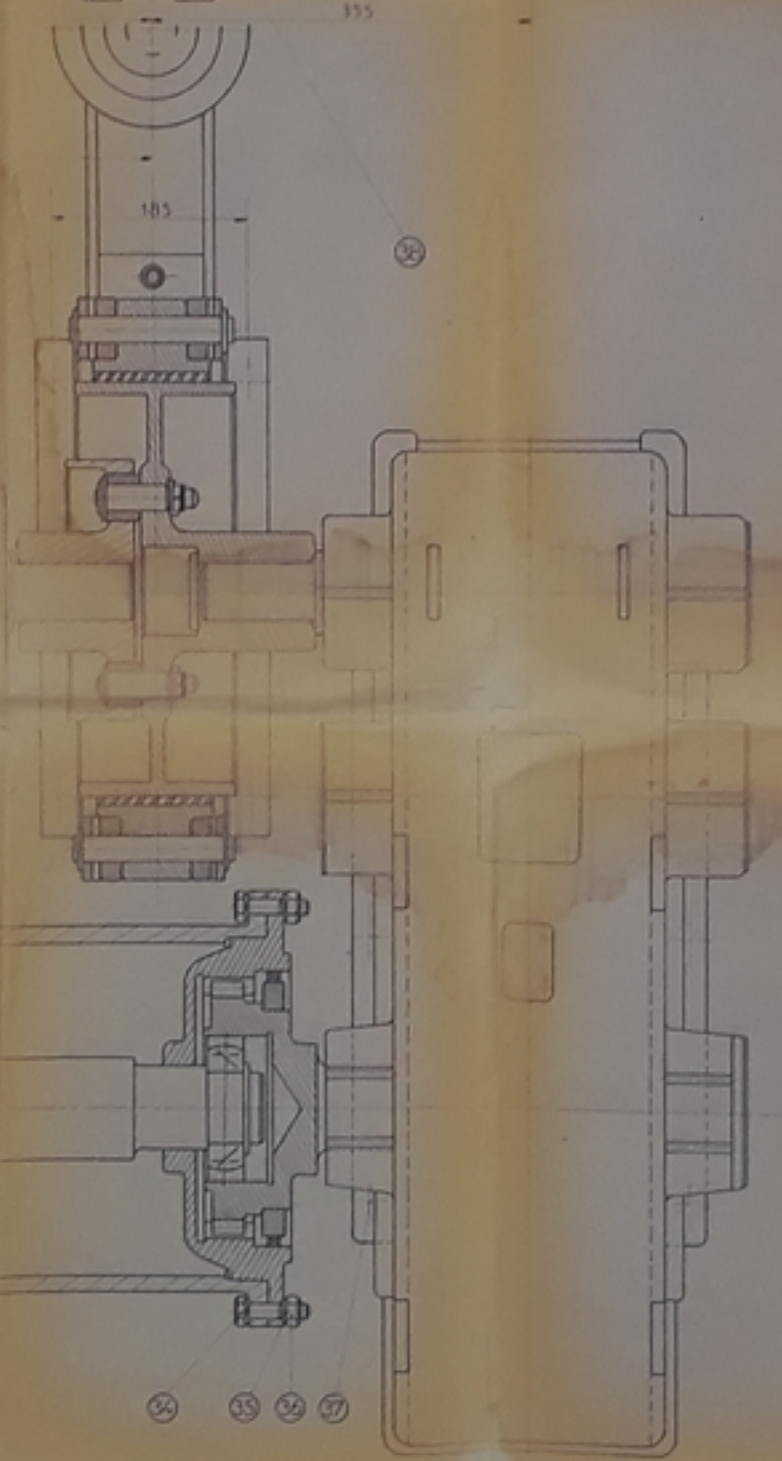
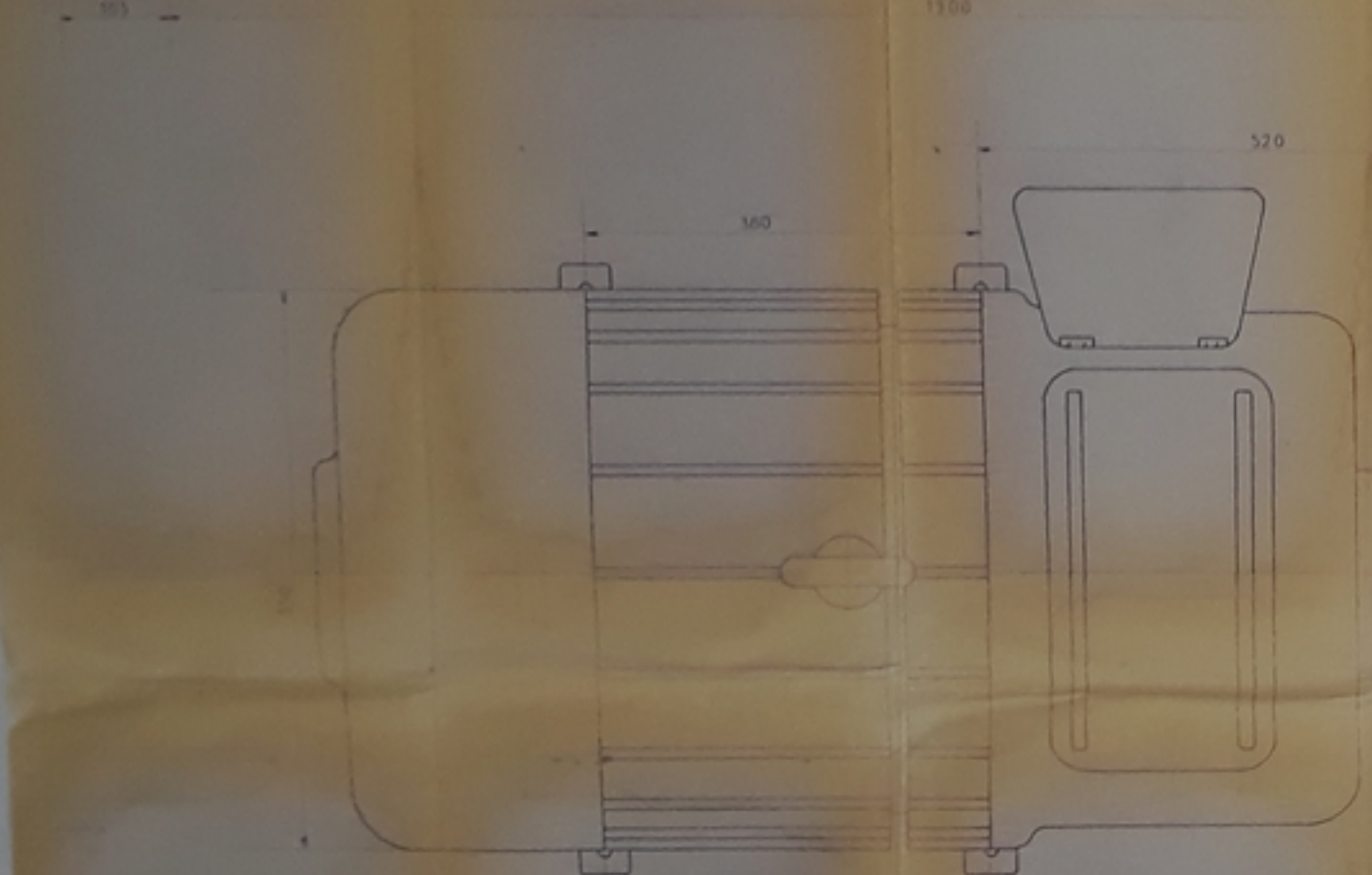
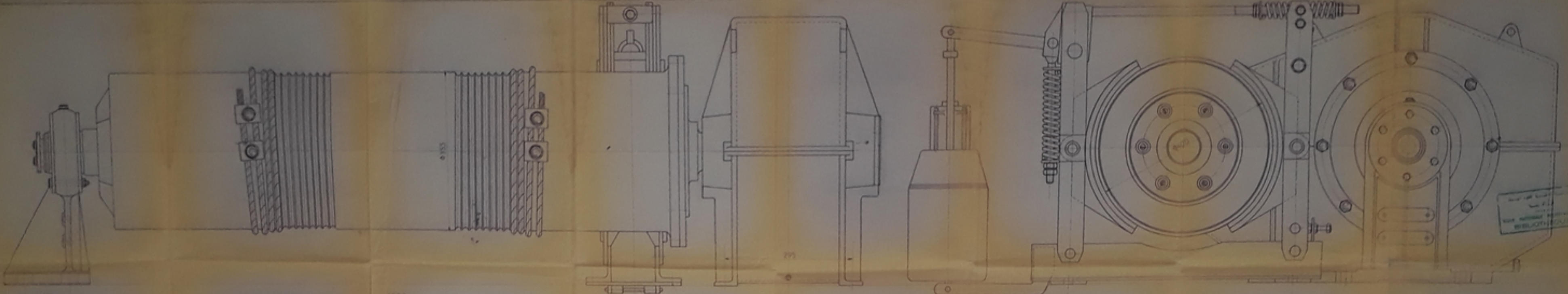
1	Données préliminaires	4
2	Calculs préliminaires	4
21	Calcul et choix des galets	4
22	Calcul de la résistance au mouvement	4
23	Choix du moteur électrique	4
24	Choix du réducteur	5
25	Choix des accouplements	5
3	Vérification dynamique du mécanisme de direction	5
31	Démarrage contre le vent du chariot chargé	5
32	Freinage du chariot chargé dans le sens du vent	58
33	Vérification de non-patinage au démarrage contre le vent (à vide)	61
34	Vérification de non-patinage au freinage dans le sens du vent (à vide)	63

Conclusion

Bibliographie

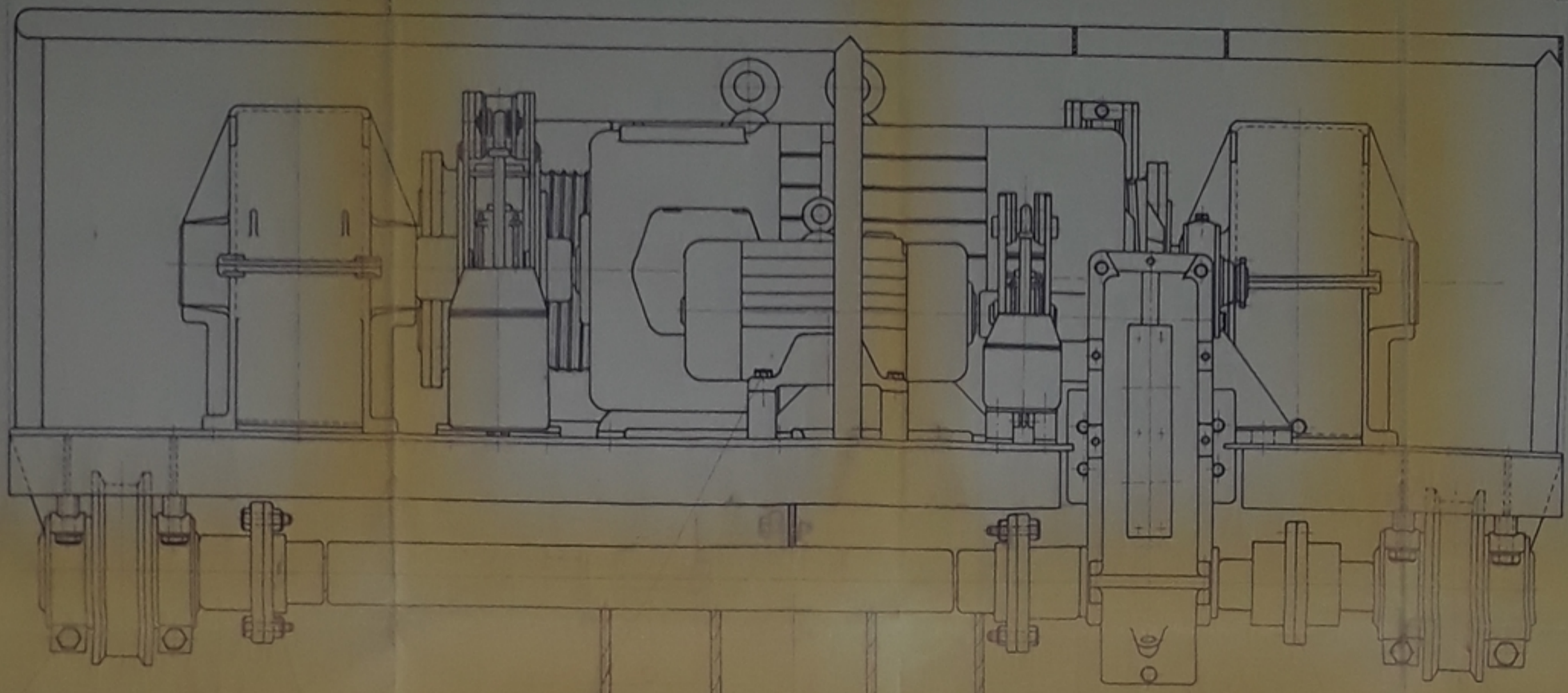
Table des matières

4
4
4
4
4
5
5
5
5
58
61
63
65
66
67



ÉCOLE NATIONALE POLYTECHNIQUE
 MECANISME DE RETENUE
 EN PA
 1943 91

ÉCOLE NATIONALE POLYTECHNIQUE
 MECANISME DE RETENUE
 EN PA
 1943 91



19

20

21

22

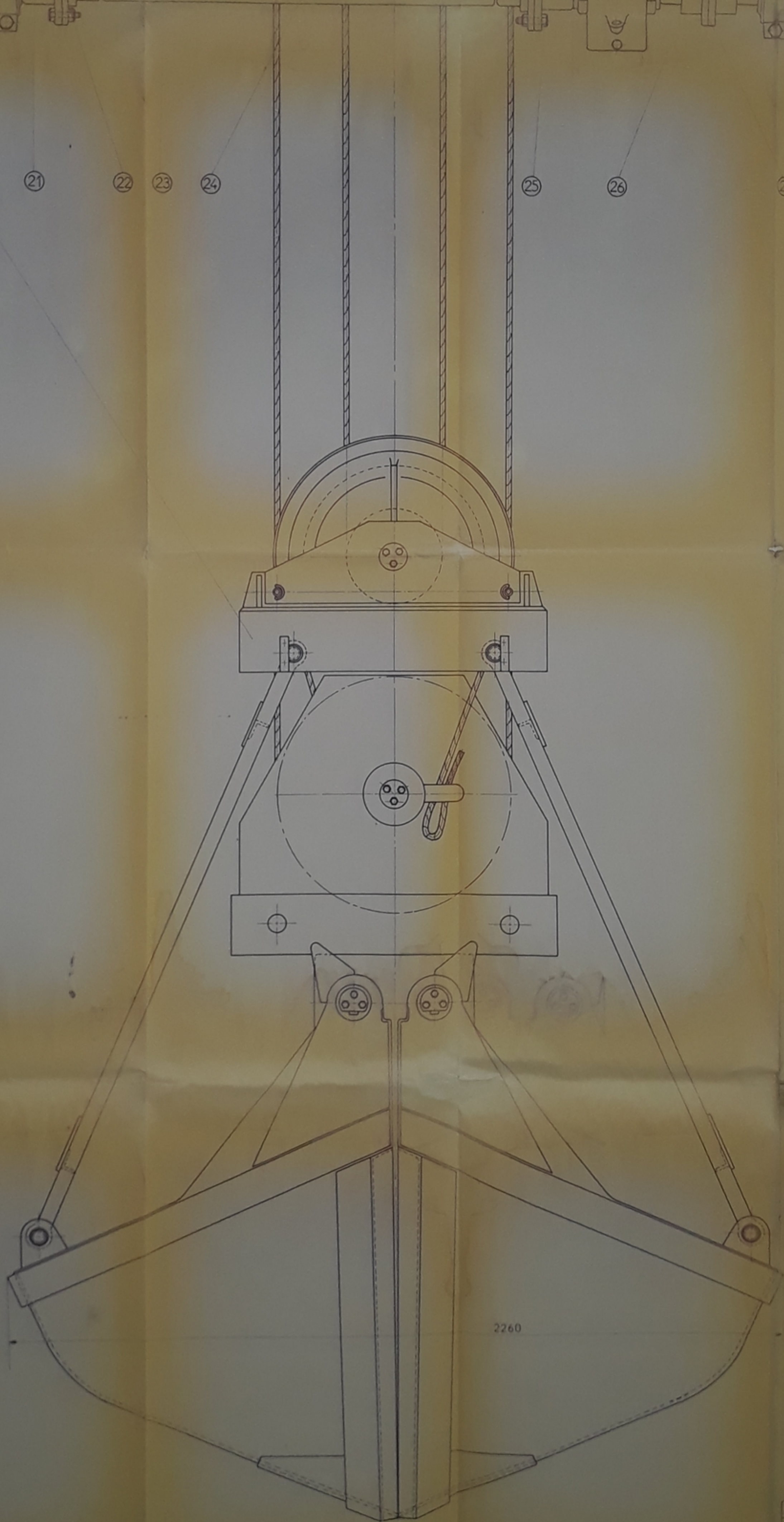
23

24

25

26

27



2260

ÉCOLE NATIONALE POLYTECHNIQUE
BIBLIOTHÈQUE

ÉCOLE NATIONALE POLYTECHNIQUE
BIBLIOTHÈQUE

PM013 S.1
-2-

ÉCOLE NATIONALE POLYTECHNIQUE
CHARIOT ENPA
CH1 00

